

บทที่ 4

ผลการศึกษาและอภิปราย

4.1 ผลการเปรียบเทียบข้อมูลมจากชีวินต์กับแผนที่อาคารผิวพื้นที่จากการผลิตุนิยม
วิทยา เพื่อที่จะแสดงให้ความถูกต้องของข้อมูลมจากชีวินต์ ที่นำมาศึกษา พบว่า

มกราคม รูปที่ 4.1 จากแผนที่อาคารผิวพื้น ความกดอากาศสูงที่ปักคลุมอยู่ในประเทศจีน
มีกำลังแรงและได้แพร่ลงมาถึงประเทศไทยเดียว ทำให้ลมตามแนวชายฝั่งมีทิศทางเป็นลมตะวัน
ออกเฉียงเหนือ ซึ่งสอดคล้องกับข้อมูลมจากชีวินต์ที่ตรวจวัดได้ที่มีทิศทางไปในทิศทางเดียวกัน

กุมภาพันธ์ รูปที่ 4.2 ลมตามแนวชายฝั่งจากแผนที่อาคารผิวพื้นมีทิศทางเป็นลมตะวัน
ออกเฉียงเหนือและมีกำลังอ่อน ซึ่งสอดคล้องกับข้อมูลมจากชีวินต์ ยกเว้นในอ่าวเบงกอล ที่ข้อมูล
มจากชีวินต์เป็นแนวตัดใหม่ แต่ในแผนที่อาคารผิวพื้นที่นั้นไม่สามารถมองเห็นได้เนื่อง
จากไม่มีข้อมูล

มีนาคม รูปที่ 4.3 ลมตามแนวชายฝั่งจากแผนที่อาคารผิวพื้นมีทิศทางเป็นลมตะวันออก
เฉียงเหนือและมีกำลังอ่อน ซึ่งสอดคล้องกับข้อมูลมจากชีวินต์ ยกเว้นในอ่าวเบงกอล ที่ข้อมูล
จากชีวินต์เป็นแนวตัดใหม่ แต่ในแผนที่อาคารผิวพื้นที่นั้นไม่สามารถมองเห็นได้เนื่องจากไม่มี
ข้อมูล

เมษายน รูปที่ 4.4 ลมตามแนวชายฝั่งจากแผนที่อาคารผิวพื้นมีทิศทางเป็นลมตะวันออก
เฉียงเหนือและมีกำลังอ่อน ซึ่งสอดคล้องกับข้อมูลมจากชีวินต์ ยกเว้นในอ่าวเบงกอล ที่ข้อมูล
จากชีวินต์เป็นแนวตัดใหม่ แต่ในแผนที่อาคารผิวพื้นที่นั้นไม่สามารถมองเห็นได้เนื่องจากไม่มี
ข้อมูล

พฤษภาคม รูปที่ 4.5 ลมตามแนวชายฝั่งจากแผนที่อาคารผิวพื้นมีทิศทางเป็นลมตะวัน
ตกเฉียงใต้และมีกำลังอ่อน ซึ่งสอดคล้องกับข้อมูลมจากชีวินต์ และปรากฏแนวของ ITCZ ให้เห็น
ในแผนที่อาคารแผนที่อาคารผิวพื้นที่ อยู่เหนือเส้นศูนย์สูตร (ซึ่งเป็นบริเวณที่ลมตะวันออกเฉียงใต้

ของซีกโลกใต้พัดขึ้นมาปะทะกับลมตะวันออกเฉียงเหนือในซีกโลกเหนือ) นั้นหมายความว่า มีลักษณะของลมตะวันเฉียงใต้ของซีกโลกใต้พัดข้ามเส้นศูนย์สูตรขึ้นมาเป็นลมตะวันตกเฉียงใต้ในซีกโลกเหนือ ซึ่งลักษณะนี้สอดคล้องกับข้อมูลลมจากชีวินด์

มิถุนายน รูปที่ 4.6 ลมตามแนวชายฝั่งจากแผนที่อากาศผิวน้ำมีทิศทางเป็นลมตะวันตกเฉียงใต้พัดปกคลุมมีกำลังค่อนข้างแรงพัดปกคลุมตามแนวชายฝั่ง จะสังเกตได้ว่าแนวของ ITCZ ได้เลื่อนไปอยู่บนแผ่นดินแล้ว ซึ่งสอดคล้องกับข้อมูลลมจากชีวินด์ที่ไม่ปรากฏให้เห็นแนวปะทะของลมทั้งสองซีกโลก

กรกฎาคม รูปที่ 4.7 ลมตามแนวชายฝั่งจากแผนที่อากาศผิวน้ำมีทิศทางเป็นลมตะวันตกเฉียงใต้พัดปกคลุมมีกำลังค่อนข้างแรงพัดปกคลุมตามแนวชายฝั่ง จะสังเกตได้ว่าแนวของ ITCZ ได้เลื่อนไปอยู่บนแผ่นดินแล้ว ซึ่งสอดคล้องกับข้อมูลลมจากชีวินด์ที่ไม่ปรากฏให้เห็นแนวปะทะของลมทั้งสองซีกโลก

สิงหาคม รูปที่ 4.8 ลมตามแนวชายฝั่งจากแผนที่อากาศผิวน้ำมีทิศทางเป็นลมตะวันตกเฉียงใต้พัดปกคลุมมีกำลังค่อนข้างแรงพัดปกคลุมตามแนวชายฝั่ง จะสังเกตได้ว่าแนวของ ITCZ ได้เลื่อนไปอยู่บนแผ่นดินแล้ว ซึ่งสอดคล้องกับข้อมูลลมจากชีวินด์ที่ไม่ปรากฏให้เห็นแนวปะทะของลมทั้งสองซีกโลก

กันยายน รูปที่ 4.9 ลมตามแนวชายฝั่งจากแผนที่อากาศผิวน้ำมีทิศทางเป็นลมตะวันตกเฉียงใต้พัดปกคลุมมีกำลังค่อนข้างแรงพัดปกคลุมตามแนวชายฝั่ง จะสังเกตได้ว่าแนวของ ITCZ ได้เลื่อนลงมาจากบนแผ่นดิน ไปทางใต้มากขึ้น ซึ่งสอดคล้องกับข้อมูลลมจากชีวินด์ที่ไม่ปรากฏให้เห็นแนวปะทะของลมทั้งสองซีกโลก

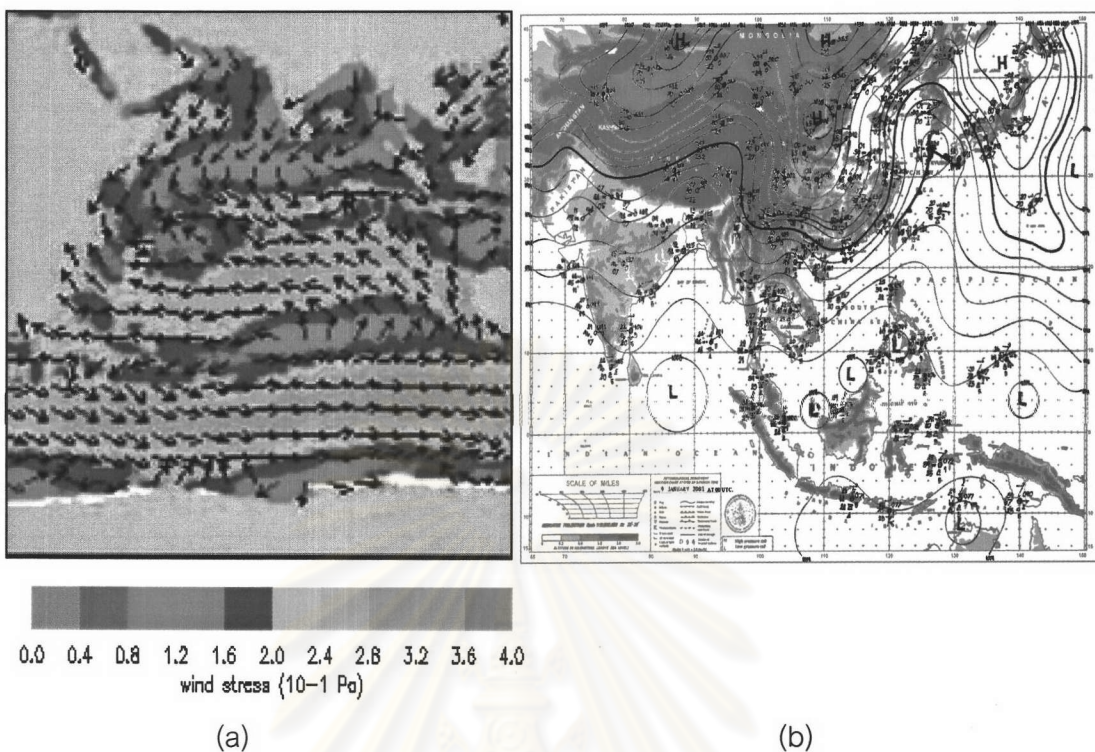
ตุลาคม รูปที่ 4.10 ลมตามแนวชายฝั่งจากแผนที่อากาศผิวน้ำมีทิศทางเป็นลมตะวันตกเฉียงใต้พัดปกคลุมมีกำลังค่อนข้างแรงพัดปกคลุมตามแนวชายฝั่ง จะสังเกตได้ว่าแนวของ ITCZ ได้เลื่อนลงมาจากบนแผ่นดิน ไปทางใต้มากขึ้น ซึ่งข้อมูลลมจากชีวินด์สามารถเห็นแนวร่องน้ำได้ เช่นกัน จะปรากฏอยู่ทางใต้ของอินเดีย ซึ่งสอดคล้องกับข้อมูลทางอุตุนิยมวิทยา

พฤษจิกายน รูปที่ 4.11 จากแผนที่อากาศผิวนี้ ลมตามแนวชายฝั่งของเบงกอลเป็นลมตะวันออกอ่อนจากความกดอากาศสูงจากประเทศจีนได้แพร่เข้าในอ่าวเบงกอลทำให้ลมที่พัดคลุ่มในบริเวณนี้เป็นลมตะวันออก ซึ่งสอดคล้องกับข้อมูลลมจากซีвинด์ที่ตรวจวัดได้เป็นลมในทิศทางใกล้เคียงกัน

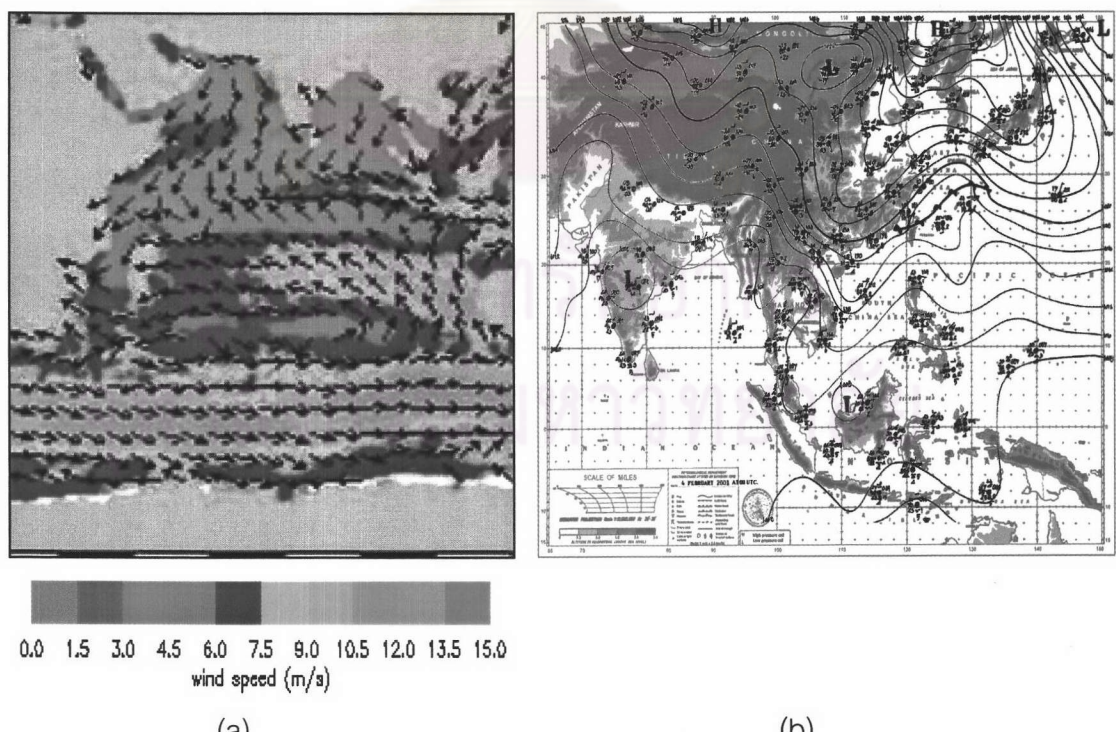
ธันวาคม รูปที่ 4.12 จากแผนที่อากาศ ความกดอากาศสูงที่ปักคุณอยู่ในประเทศจีนมีกำลังแรงและได้แพร่ลงมาถึงประเทศไทยเดีย ทำให้ลมตามแนวชายฝั่งมีทิศทางเป็นลมตะวันออก เนื่องจาก ซึ่งสอดคล้องกับข้อมูลลมจากซีвинด์ที่ตรวจวัดได้ที่มีทิศทางไปในทิศทางเดียวกัน



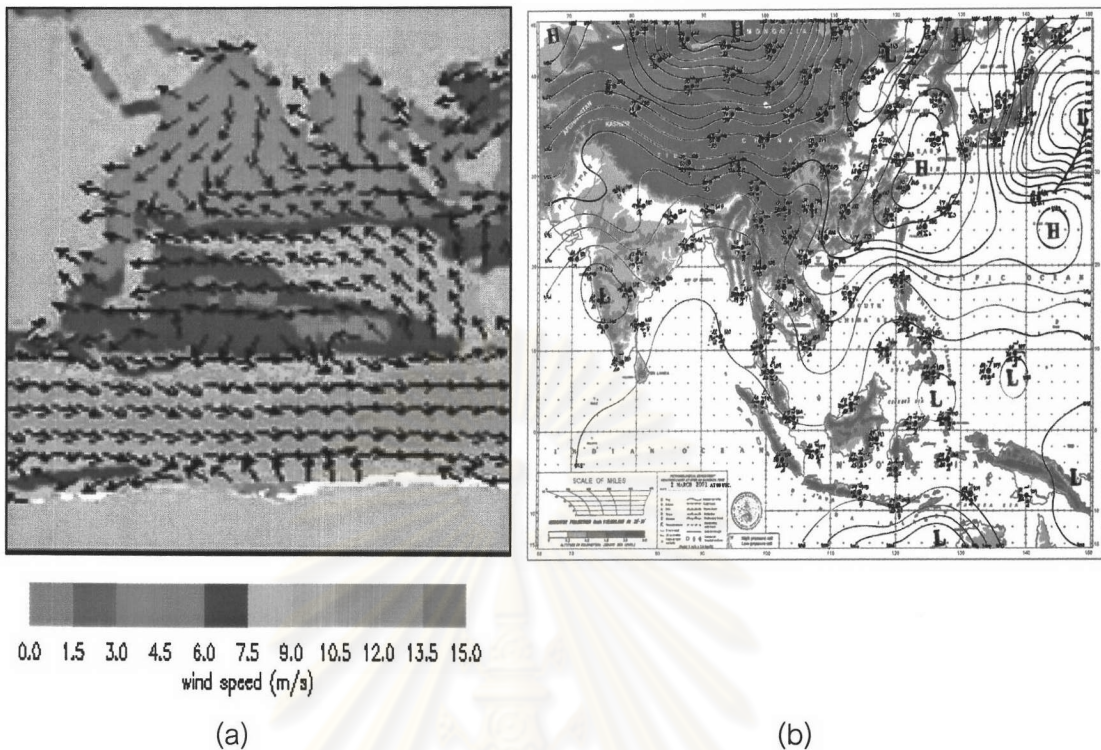
ศูนย์วิทยทรัพยากร
จุฬาลงกรณ์มหาวิทยาลัย



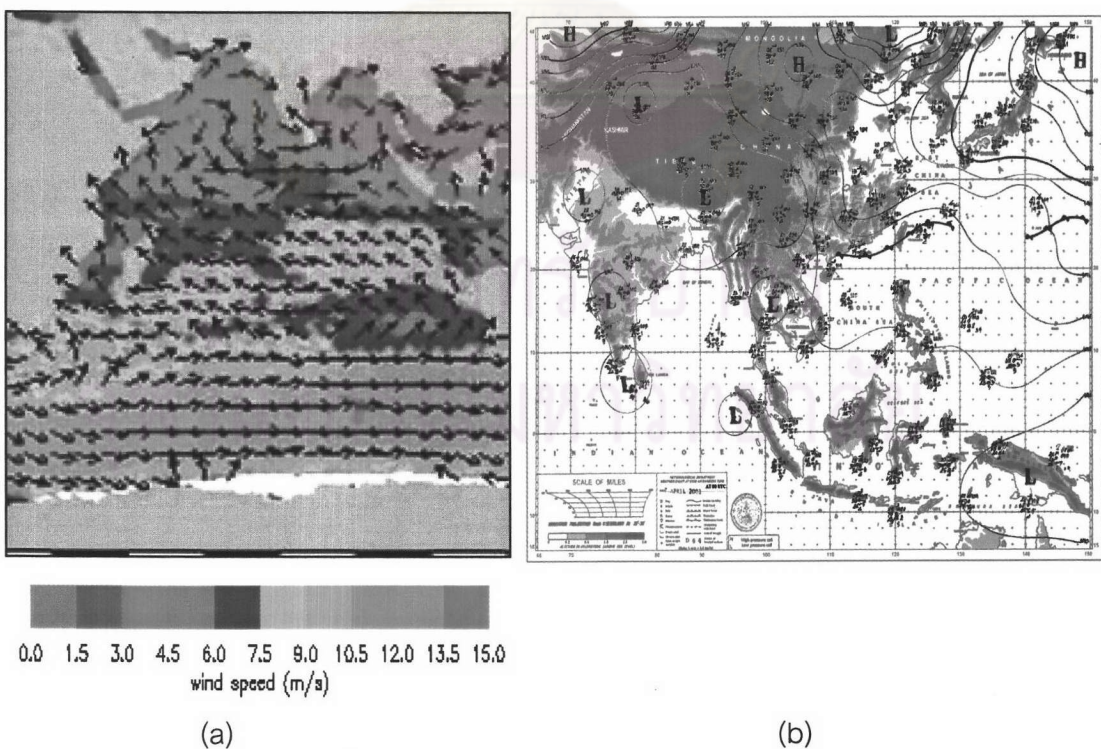
รูปที่ 4.1 เดือนมกราคม (a) ทิศทางลมและกำลังลมจากชีวินด์ (b) แผนที่อากาศผิวน้ำจากการณ์อุตุนิยมวิทยา



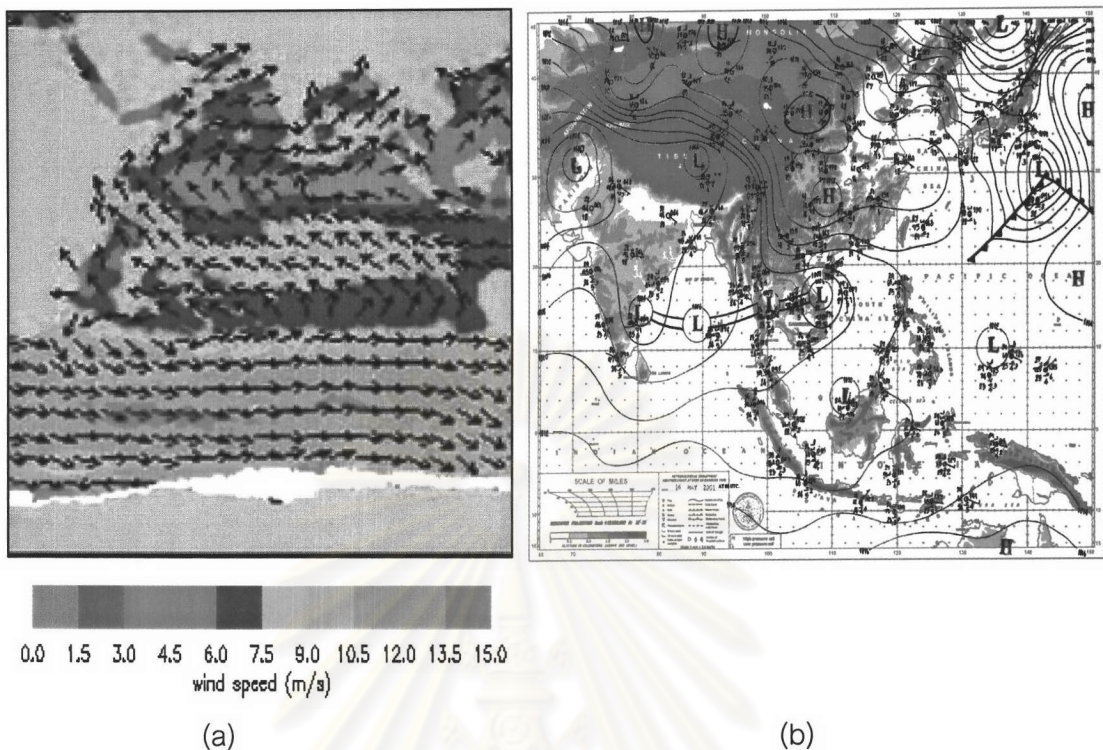
รูปที่ 4.2 เดือนกุมภาพันธ์ (a) ทิศทางลมและกำลังลมจากชีวินด์ (b) แผนที่อากาศผิวน้ำจากการณ์อุตุนิยมวิทยา



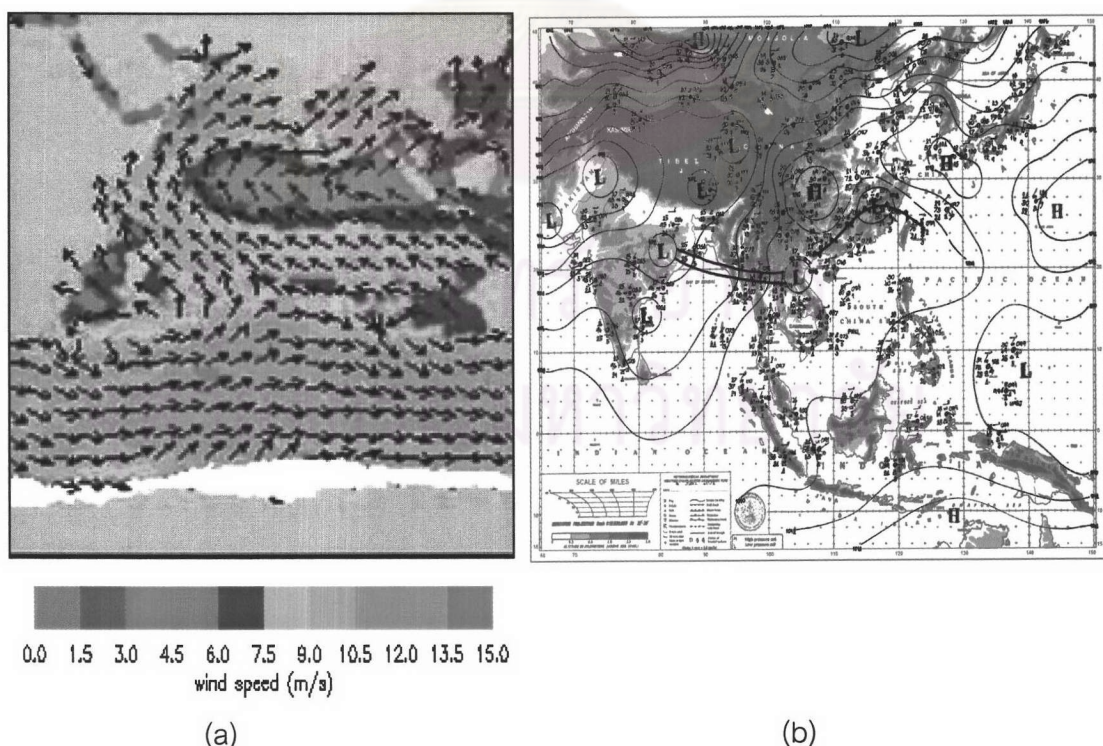
รูปที่ 4.3 เดือนมีนาคม (a) ทิศทางลมและกำลังลมจากชีวินด์ (b) แผนที่อากาศผิวพื้นจากการณ์อุตุนิยมวิทยา



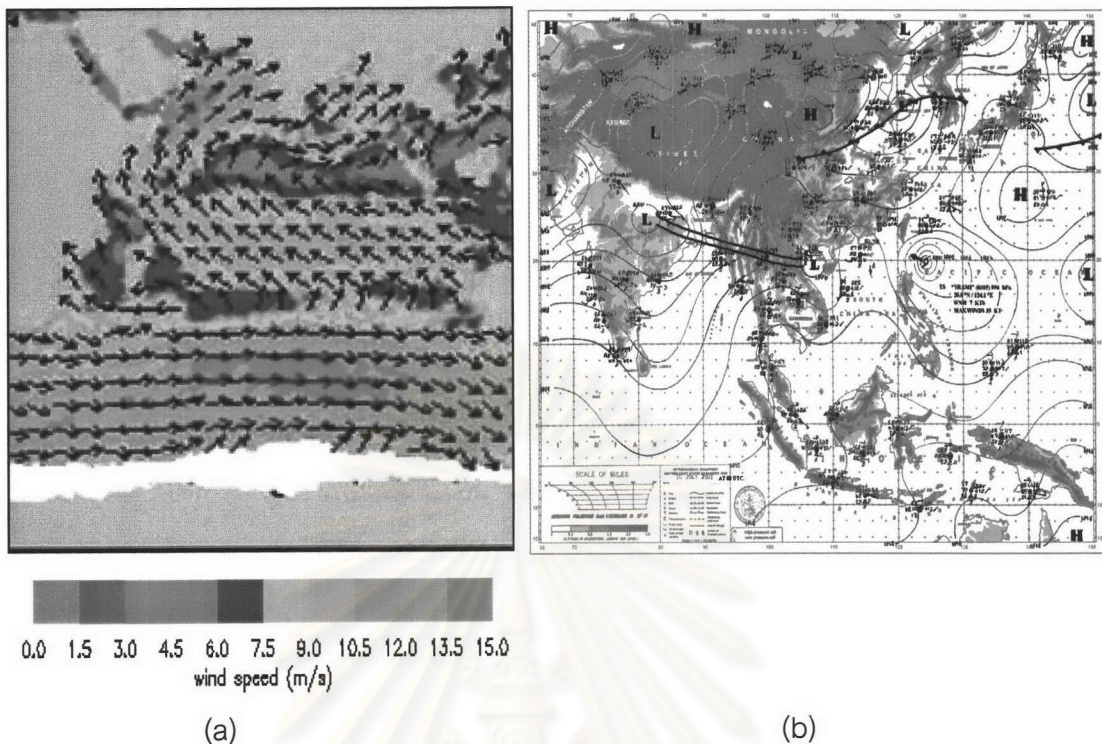
รูปที่ 4.4 เดือนเมษายน (a) ทิศทางลมและกำลังลมจากชีวินด์ (b) แผนที่อากาศผิวพื้นจากการณ์อุตุนิยมวิทยา



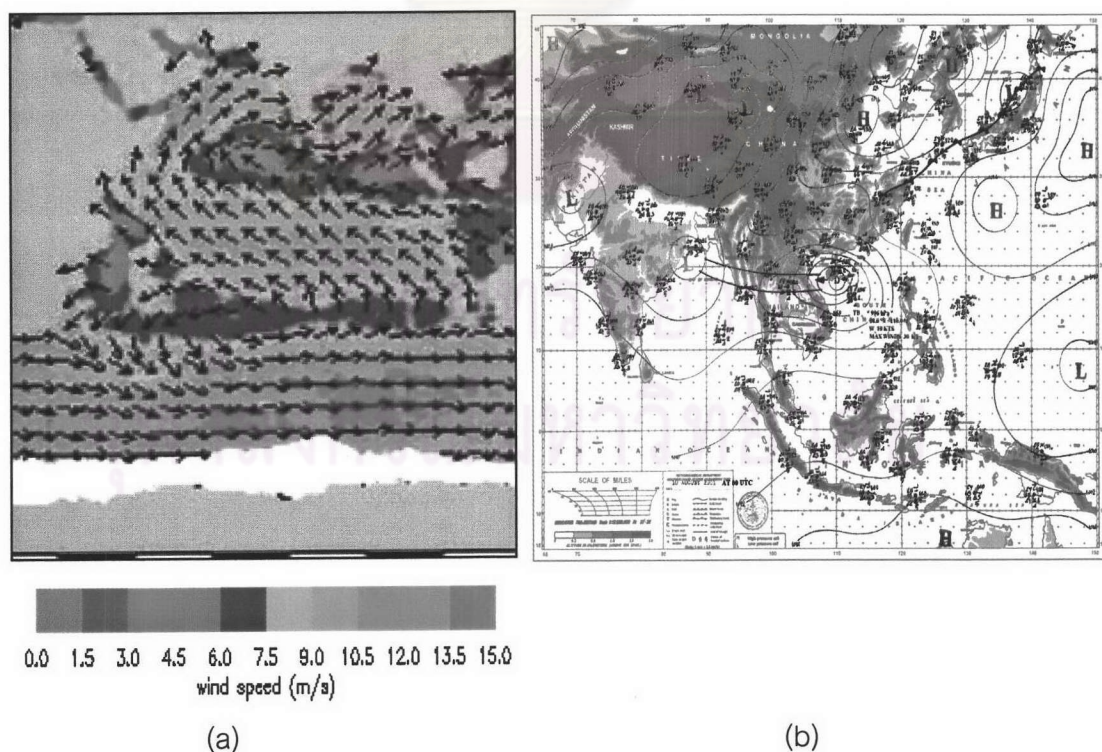
รูปที่ 4.5 เดือนพฤษภาคม (a) ทิศทางลมและกำลังลมจากชีวินด์ (b) แผนที่อากาศผิวน้ำจากกรมอุตุนิยมวิทยา



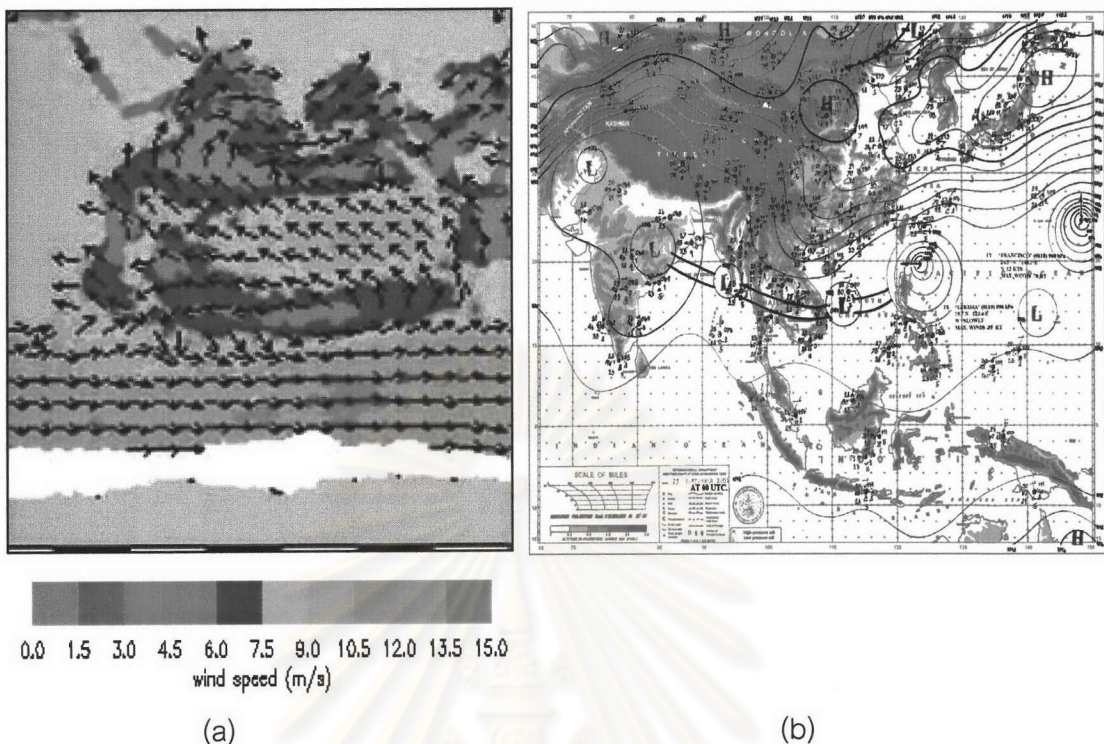
รูปที่ 4.6 เดือนมิถุนายน (a) ทิศทางลมและกำลังลมจากชีวินด์ (b) แผนที่อากาศผิวน้ำจากกรมอุตุนิยมวิทยา



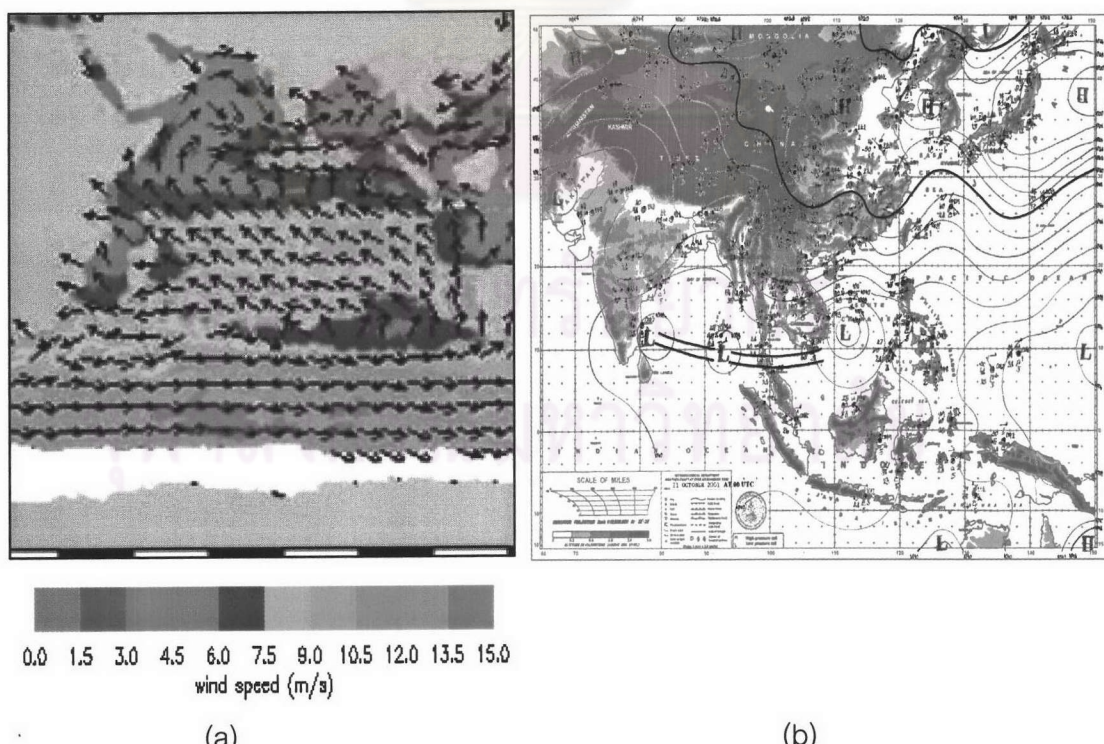
รูปที่ 4.7 เดือนกรกฎาคม (a) ทิศทางลมและกำลังลมจากซีวินด์ (b) แผนที่อากาศผิวน้ำจากกรมอุตุนิยมวิทยา



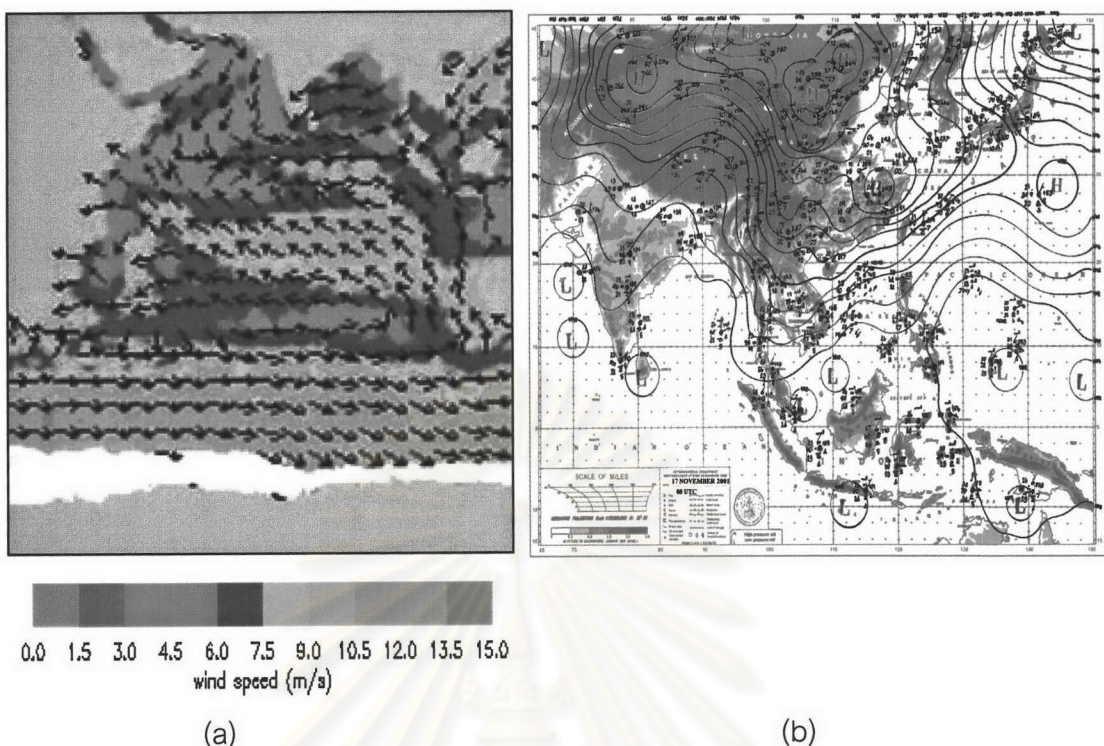
รูปที่ 4.8 เดือนสิงหาคม (a) ทิศทางลมและกำลังลมจากซีวินด์ (b) แผนที่อากาศผิวน้ำจากกรมอุตุนิยมวิทยา



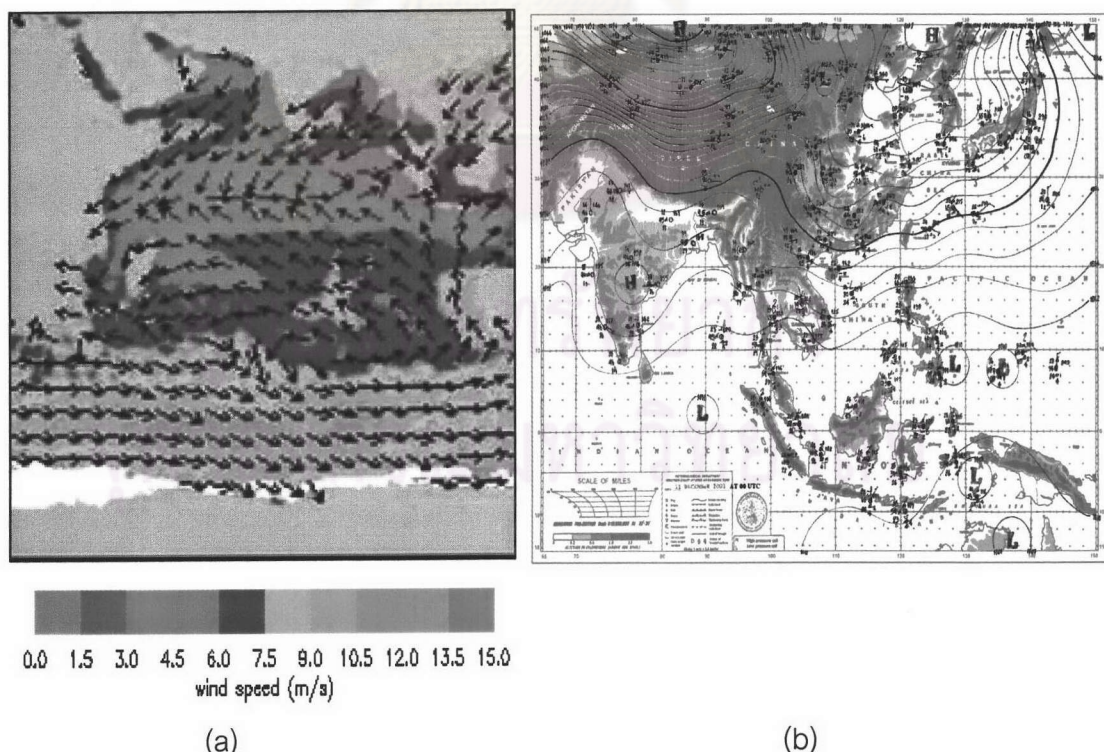
รูปที่ 4.9 เดือนกันยายน (a) ทิศทางลมและกำลังลมจากซีวินด์ (b) แผนที่อากาศผิวน้ำจากกรมอุตุนิยมวิทยา



รูปที่ 4.10 เดือนตุลาคม (a) ทิศทางลมและกำลังลมจากซีวินด์ (b) แผนที่อากาศผิวน้ำจากกรมอุตุนิยมวิทยา



รูปที่ 4.10 เดือนพฤษจิกายน (a) ทิศทางลมและกำลังลมจากซีวินด์ (b) แผนที่อากาศผิวน้ำจากกรมอุตุนิยมวิทยา



รูปที่ 4.12 เดือนธันวาคม (a) ทิศทางลมและกำลังลมจากซีวินด์ (b) แผนที่อากาศผิวน้ำจากกรมอุตุนิยมวิทยา

4.2 การไหลเวียนลมรสมุ่นในมหาสมุทรอินเดีย

มกราคม รูปที่ 4.13(a) ในซีกโลกเหนือ จะมีลักษณะลมตะวันออกเฉียงเหนือพัดปกคลุม และมีกำลังแรงพัดไปได้ไกลถึงละติจูดที่ 10 องศาใต้ ซึ่งเป็นบริเวณที่มีลมพัดเข้าหากัน (convergence) ของลมเหนือและลมตะวันออกเฉียงเหนือในซีกโลกเหนือพัดมาปะทะกับลมตะวันออกเฉียงใต้ในซีกโลกใต้ (ในทางอุตุนิยมวิทยาเรียกว่าบริเวณที่มีลมพัดเข้าหากันในเขต้อนหรือแนวร่องความกดอากาศต่ำ หรือ Inter tropical Convergent Zone;ITCZ) กำลังลมสูงสุดและแรงเครียดของลม(wind stress)ที่กระทำต่อผิวน้ำน้ำทะเลสูงสุดอยู่บริเวณชายฝั่งเชิงพาณิชย์ ส่วนในซีกโลกใต้มีลักษณะของการหมุนวนแบบทวนเข็มนาฬิกาหรือแอนติไซโคลนิก (Anticyclonic gyre) มีขนาดใหญ่พัดปกคลุมอยู่ มีศูนย์กลางอยู่บริเวณละติจูด 35 องศาใต้ ลองจิจูด 50 องศาตะวันออก ทำให้ลมที่พัดปกคลุมตั้งแต่ 35 องศาใต้ ขึ้นมาเป็นลมตะวันออกเฉียงใต้ และบริเวณที่ต่ำกว่า 35 องศาใต้ ลงไปลมจะเป็นทิศตะวันตกเฉียงใต้และลมตะวันตก และมีกำลังลมสูงสุด แรงเครียดของลมที่กระทำต่อผิวน้ำน้ำทะเลสูงสุดอยู่ในบริเวณละติจูด 50 องศาใต้ และมีกระแสลมตะวันตกพัดมาจากทางใต้ของแอฟริกา

กุมภาพันธ์ รูปที่ 4.14(a) ในซีกโลกเหนือ ลมที่พัดปกคลุมเป็นลมตะวันออกเฉียงเหนือ และยังพัดไปได้ไกลถึงละติจูด 10 องศาใต้ และเป็นบริเวณที่มีลมพัดเข้าหากันของลมเหนือและลมตะวันตกวันตกลงเฉียงเหนือในซีกโลกเหนือพัดมาปะทะกับลมตะวันออกเฉียงใต้ในซีกโลกใต้กำลังลมสูงสุดและแรงเครียดของลมที่กระทำต่อผิวน้ำน้ำทะเลสูงสุดอยู่บริเวณชายฝั่งเชิงพาณิชย์ มีกำลังอ่อนกว่าในเดือนมกราคม ในอ่าวเบงกอลมีลักษณะการหมุนวนแบบทวนเข็มนาฬิกา (Cyclonic gyre) เกิดขึ้นใน ส่วนในซีกโลกใต้มีลักษณะของแอนติไซโคลนิกขนาดใหญ่พัดปกคลุมอยู่ มีศูนย์กลางอยู่บริเวณละติจูด 35 องศาใต้ ลองจิจูด 40 และ 60 องศาตะวันออก ทำให้ลมที่พัดปกคลุมตั้งแต่ 35 องศาใต้ ขึ้นมาเป็นลมตะวันออกเฉียงใต้ และบริเวณที่ต่ำกว่า 35 องศาใต้ ลงไปลมจะเป็นทิศตะวันตกเฉียงใต้และลมตะวันตก ซึ่งเป็นบริเวณที่มีกำลังลมสูงสุด และแรงเครียดของลมที่กระทำต่อผิวน้ำน้ำทะเลสูงสุดอยู่ในบริเวณละติจูด 50 องศาใต้ และมีกระแสลมตะวันตกพัดมาจากทางใต้ของแอฟริกา

มีนาคม รูปที่ 4.15(a) ในซีกโลกเหนือ ยังเป็นลมตะวันออกเฉียงเหนือพัดปกคลุม แต่ในทະเลอราเบียนและในอ่าวเบงกอลมีลักษณะของการหมุนวนแบบแอนติไซโคลนิกขนาดเล็กๆพัดปกคลุมอยู่ มีศูนย์กลางอยู่ที่ละติจูด 20 องศาเหนือ ลองจิจูด 60 องศาตะวันออก มีกำลังลมอ่อนมาก

กว่า 2 เดือนที่ผ่านมา และแรงเครียดของลมที่กระทำต่อผิวน้ำทะเลมีกำลังอ่อนลง เช่นเดียวกัน สำหรับแนวของ ITCZ ยังคงอยู่ในแนวเดียวกับ 2 เดือนที่ผ่านมา ส่วนในซีกโลกใต้ยังคงมีระบบของแอนติไซโคลนิกขนาดใหญ่พัดปกคลุมอยู่

เมษายน รูปที่ 4.16(a) ในซีกโลกเหนือ เป็นช่วงเวลาที่เตรียมการเปลี่ยนฤดูกาลจากฤดูมรสุมตะวันออกเฉียงเหนือไปเป็นฤดูมรสุมตะวันตกเฉียงใต้ ในช่วงเวลานี้ลมมรสุมตะวันออกเฉียงเหนือ มีกำลังอ่อนลงมากและมีลักษณะของลมตะวันตกเฉียงใต้กำลังอ่อนปรากถอยู่บริเวณชายฝั่งอ่าวโอมาน และบริเวณชายฝั่งทางตะวันออกของอินเดีย มีลักษณะของแอนติไซโคลนิกเล็กๆ ก่อตัวอยู่บริเวณทะเลอาหรับ และบริเวณทางตะวันออกของอินเดียหรือในอ่าวเบงกอล มีศูนย์กลางอยู่ที่ 15 องศาเหนือ 60 และ 90 องศาตะวันออก แรงเครียดของลมที่กระทำต่อผิวน้ำทะเลมีกำลังอ่อน ส่วนในซีกโลกใต้มีลักษณะแอนติไซโคลนิกขนาดใหญ่พัดปกคลุมมาจากการทางใต้ของแอฟริกา มีลักษณะของลมตะวันออกเฉียงใต้พัดปกคลุมตั้งแต่ 30 องศาใต้ขึ้นมา และแนวของ ITCZ ได้ขยายขึ้นมาอยู่ใกล้บริเวณศูนย์สูตรใต้มากยิ่งขึ้น

พฤษภาคม รูปที่ 4.17(a) ในซีกโลกเหนือ ลมตะวันตกเฉียงใต้พัดปกคลุม ซึ่งเป็นการเริ่มต้นฤดูมรสุมตะวันตกเฉียงใต้ และมีกำลังแรงสุดอยู่บริเวณชายฝั่งโซมาли และแรงเครียดของลมที่กระทำต่อผิวน้ำทะเลเล็กๆ ถูกดึงโดยลมที่กระทำต่อผิวน้ำทะเลในซีกโลกใต้ มีลักษณะของแอนติไซโคลนิกขนาดใหญ่พัดปกคลุม มีศูนย์กลางอยู่ทางใต้ของเกาะมาดากัสการ์ (Madagascar) และลมตะวันออกเฉียงใต้พัดปกคลุมอยู่บริเวณ 30 องศาใต้ขึ้นมา และได้พัดข้ามเขตอนค์ผ่านศูนย์สูตรขึ้นไปในซีกโลกเหนือ ทำให้แนวของ ITCZ เลื่อนขึ้นไปเรื่อยๆ ในช่วงเดือนนี้ จนแนวร่องนี้ได้เลื่อนไปอยู่บนแผ่นดิน ส่วนตั้ง 30 องศาใต้ลงมาเป็นลมตะวันตกพัดปกคลุมและมีกำลังแรงสุดอยู่บริเวณ 50 องศาใต้

มิถุนายน รูปที่ 4.18(a) ซีกโลกเหนือ มีลมตะวันตกเฉียงใต้พัดปกคลุมอย่างชัดเจนและมีกำลังลมสูงสุดอยู่ทางตะวันตกของอินเดียในบริเวณทะเลอาหรับ และทางตะวันออกของอินเดียมีกำลังแรงขึ้นมากกว่าเดือนพฤษภาคม แรงเครียดของลมที่กระทำต่อผิวน้ำทะเลมีค่าสูงสุดอยู่บริเวณโซมาли ส่วนในซีกโลกใต้ มีลักษณะของแอนติไซโคลนิกขนาดใหญ่พัดปกคลุม มีศูนย์กลางอยู่ทางใต้ของเกาะมาดากัสการ์ หรือที่ละติจูด 30 องศาใต้ ลงจิจูด 45 องศาตะวันออก และลมตะวัน

ออกเฉียงได้พัดปกคลุมอยู่บริเวณ 30 องศาใต้ขึ้นมา ลมนี้มีกำลังแรงแล้วได้พัดข้ามเขตลมค้าฝ่านศูนย์สูตรขึ้นไปในซีกโลกเหนือ ในเดือนนี้ไม่ปรากฏแนวของ ITCZ ให้เห็น

กรกฎาคม รูปที่ 4.19(a) ซีกโลกเหนือ ยังคงมีลมตะวันตกเฉียงใต้พัดปกคลุมอย่างชัดเจน และมีกำลังลมสูงสุดอยู่แถบบริเวณทะเลอาหรับ และทางตะวันออกของอินเดียมีกำลังแรงขึ้นมากกว่าเดือนพฤษภาคม แรงเครียดของลมที่กระทำต่อผิวน้ำน้ำทะเลเมื่อค่าสูงสุดอยู่บริเวณโซมาลี ส่วนในซีกโลกใต้ มีลักษณะของแอนติไซโคลินิกขนาดใหญ่ปกคลุม มีศูนย์กลางอยู่ทางใต้ของเกาะมาดากัสการ์หรือ ที่ละติจูด 30 องศาใต้ ลองจิจูด 45 องศาตะวันออก และลมตะวันออกเฉียงใต้พัดปกคลุมอยู่บริเวณ 30 องศาใต้ขึ้นมา มีกำลังแรงมากกว่าเดือนมิถุนายน และได้พัดข้ามเขตลมค้าฝ่านศูนย์สูตรขึ้นไปในซีกโลกเหนือ ในเดือนนี้ไม่ปรากฏแนวของ ITCZ ให้เห็น

สิงหาคม รูปที่ 4.20(a) ซีกโลกเหนือ ยังคงมีลมตะวันตกเฉียงใต้พัดปกคลุมอยู่และกำลังลมสูงสุดยังคงอยู่บริเวณชายฝั่งของโซมาลี แต่มีกำลังอ่อนกว่าเดือนกรกฎาคม แรงเครียดของลมที่กระทำต่อผิวน้ำน้ำทะเลเมื่อค่าสูงสุดอยู่บริเวณโซมาลีเช่นเดียวกัน ในซีกโลกใต้ ยังคงเป็นลมตะวันออกเฉียงใต้พัดปกคลุมอยู่เช่นเดิม บริเวณซ่องแคบไม้ซัมบิสมีลักษณะของลมที่พัดออกจากกันศูนย์กลางของแอนติไซโคลินิกขนาดใหญ่ได้ขยายมาทางตะวันออกมากยิ่งขึ้นประมาณละติจูด 35 องศาใต้ ลองจิจูด 65 องศาตะวันออก ในเดือนนี้ไม่ปรากฏแนวของ ITCZ ให้เห็น

กันยายน รูปที่ 4.21(a) ซีกโลกเหนือ ยังคงมีลมตะวันตกเฉียงใต้พัดปกคลุมอยู่และกำลังลมได้อ่อนลงกว่าเดือนสิงหาคม ค่าสูงสุดยังคงอยู่บริเวณชายฝั่งของโซมาลี แรงเครียดของลมที่กระทำต่อผิวน้ำน้ำทะเลเมื่อค่าสูงสุดอยู่บริเวณโซมาลีเช่นเดียวกัน ในซีกโลกใต้ ยังคงเป็นลมตะวันออกเฉียงใต้พัดปกคลุมอยู่เช่นเดิม บริเวณซ่องแคบไม้ซัมบิสมีลักษณะของลมที่พัดออกจากกันคล้ายกับมีแอนติไซโคลินิกเล็กๆ เกิดขึ้นอยู่บริเวณใกล้ชายฝั่งด้านใต้ของแอฟริกา ส่วนศูนย์กลางของแอนติไซโคลินิกขนาดใหญ่ ได้ขยายออกมากตะวันออกมากยิ่งขึ้นประมาณละติจูด 35 องศาใต้ ลองจิจูด 85 องศาตะวันออก ในเดือนนี้ไม่ปรากฏแนวของ ITCZ ให้เห็น

ตุลาคม รูปที่ 4.22(a) เป็นช่วงเวลาที่เตรียมการเปลี่ยนฤดูมรสุมตามราศมตะวันตกเฉียงใต้เป็นมรสุมตะวันออกเฉียงเหนือ ซีกโลกเหนือ ลมตะวันตกเฉียงใต้มีกำลังอ่อนลงมากและในช่วงเดือนนี้มีการปรากฏของแนว ITCZ ให้เห็นอยู่บริเวณແටوالะติจูด 5-10 องศาเหนือ กำลังลมสูงสุด

อยู่บริเวณทางใต้ของครีลังกา ส่วนในซีกโลกใต้ เป็นลักษณะของแอนติไซโคลนิกขนาดใหญ่พัดปกคลุมอยู่ซึ่งมีศูนย์กลางอยู่ที่ละติจูด 30 องศาใต้ ลองจิจูด 60 องศาตะวันออก

พุศจิกายน รูปที่ 4.23(a) ซีกโลกเหนือ มีลักษณะของลมตะวันออกเฉียงเหนือพัดปกคลุมอยู่ทางตะวันตกของอินเดีย และทางตอนใต้ของอ่าวเบงกอลหรือทางด้านตะวันออกเฉียงใต้ของอินเดียมีลักษณะของไซโคลนิคปราภูมิให้เห็น ทำให้ทางด้านตะวันออกของอินเดียเป็นลมตะวันออกพัดปกคลุม มีกำลังอ่อน แนวของ ITCZ อยู่บริเวณเส้นศูนย์สูตร ส่วนในซีกโลกใต้ มีลักษณะของแอนติไซโคลนิกขนาดใหญ่พัดปกคลุม ศูนย์กลางอยู่ที่ ละติจูด 30 องศาใต้ ลองจิจูด 60 องศาตะวันออกกำลังลมสูงสุดอยู่ในซีกโลกใต้

ธันวาคม รูปที่ 4.24(a) ซีกโลกเหนือ มีลักษณะของลมตะวันออกเฉียงเหนือขั้ดเจนและมีกำลังแรงขึ้น ซึ่งกำลังลมสูงสุดอยู่บริเวณชายฝั่งurma แลบริเวณครีลังกา แรงเครียดของลมที่กระทำต่อผิวน้ำน้ำทะเลเมื่อค่าสูงสุดอยู่บริเวณทางใต้ของอินเดียใกล้กับครีลังกา ส่วนในซีกโลกใต้มีลักษณะของแอนติไซโคลนิกขนาดใหญ่พัดปกคลุม มีศูนย์กลางอยู่ที่ละติจูด 35 องศาใต้ ลองจิจูด 85 องศาตะวันออก และที่ลองจิจูด 45 องศาตะวันออก แนวของ ITCZ ในช่วงเดือนนี้ได้เลื่อนลงมาอยู่ที่ 5-10 องศาใต้

4.3 การกระจายของ Wind stress curl

มกราคม รูปที่ 4.13(b) รูปแบบการกระจายของ wind stress curl ที่แสดงค่าเป็นบวก (positive) หมายถึงบริเวณที่มีการเกิดน้ำผุดอยู่ในบริเวณตอนใต้ของประเทศอินเดียหรือที่ละติจูด 10 องศาเหนือ-ใต้ และ wind stress curl มีค่าเป็นลบ แสดงถึงการเกิดน้ำมุด พบได้ในบริเวณทะเลอาราเบียน อ่าวเบงกอล และในแนวของ ITCZ ส่วนในซีกโลกใต้ จะพบการเกิดน้ำมุด ในบริเวณตั้งแต่ 50 องศาใต้ลงไป

กุมภาพันธ์ รูปที่ 4.14(b) รูปแบบการกระจายของ wind stress curl ที่แสดงค่าเป็นบวก (positive) หมายถึงบริเวณที่มีการเกิดน้ำผุดอยู่ในบริเวณตอนใต้ของประเทศอินเดียหรือที่ละติจูด 10 องศาเหนือ-ใต้ และ wind stress curl มีค่าเป็นลบ แสดงถึงการเกิดน้ำมุดพบได้ในบริเวณทะเล

อากาศเปียน อ่าวเบงกอล และในแนวของ ITCZ ส่วนในซีกโลกใต้ จะพบการเกิดน้ำมุด ในบริเวณตั้งแต่ 50 องศาใต้ลงไป

มีนาคม รูปที่4.15(b) รูปแบบการกระจายของ wind stress curl ที่แสดงค่าเป็นบวก (positive) หมายถึงบริเวณที่มีการเกิดน้ำผุดอยู่ในบริเวณตอนใต้ของประเทศไทยหรือที่ละติจูด 10 องศาเหนือ-ใต้ และ wind stress curl มีค่าเป็นลบ แสดงถึงการเกิดน้ำมุดพบได้ในบริเวณทะเลอากาศเปียน อ่าวเบงกอล และในแนวของ ITCZ ส่วนในซีกโลกใต้ จะพบการเกิดน้ำมุด ในบริเวณตั้งแต่ 50 องศาใต้ลงไป

เมษายน รูปที่4.16(b) wind stress curl ในอ่าวเบงกอลและในทะเลอากาศเปียน มีค่าเป็นลบ และมีค่าเป็นลบมากในบริเวณตะวันตกของอ่าวเบงกอล และในแนวของ ITCZ มีค่าเป็นลบ ส่วนในซีกโลกใต้ บริเวณที่มีค่าเป็นลบจะอยู่ในบริเวณที่อยู่ใกล้กับชายฝั่งของแอนตาร์ติก และบริเวณเล็กๆทางใต้ของแอฟริกา

พฤษภาคม รูปที่4.17(b) เป็นเดือนที่เริ่มต้นมรสุมตะวันตกเฉียงใต้ พบร่องแม่น้ำสายผ่านของของโขมาเลีย บริเวณปากแม่น้ำ ตามชายฝั่งตะวันตกของประเทศไทย แลตตอนกลางของอ่าวเบงกอล มีค่าเป็นบวก และมีค่าเป็นลบ ในบริเวณละติจูด 10 องศาเหนือ-ใต้ ส่วนในซีกโลกใต้ เมื่อเทียบกับเดือนมกราคม-มีนาคม ค่าบวกและลบของ wind stress curl มีการกระจายตัวไปทางเหนือมากขึ้น

มิถุนายน รูปที่4.18(b) ค่าของ wind stress curl เป็นบวก ตามบริเวณชายฝั่งโอมาน ปากีสถาน และตามชายฝั่งตะวันตกและตะวันออกของประเทศไทย แลจะมีค่าเป็นลบในบริเวณละติจูด 15 องศาเหนือ ถึง 10 องศาใต้ และบริเวณตะวันออกของอ่าวเบงกอล ส่วนในซีกโลกใต้ ค่าลบของ wind stress curl มีการขยายไปทางตะวันออกมากขึ้น และมีการกระจายน้อยลงหรือมีบริเวณแคบลง แต่ยังคงอยู่ตามชายฝั่งของแอนตาร์ติก

กรกฎาคม รูปที่4.19(b) ค่าของ wind stress curl เป็นบวก ตามบริเวณชายฝั่งโอมาน และปากีสถาน ส่วนในอ่าวเบงกอลจะพบตามชายฝั่งตะวันออกของประเทศไทย แลทางตะวันออกของศรีลังกา และ wind stress curl เป็นลบ ตามชายฝั่งทะเลโขมาเลีย ตอนกลางของทะเล

ราเบียน และตอนกลางของอ่าวเบงกอล ส่วนในซีกโลกใต้ ค่าลบของ wind stress curl มีการกระจายน้อยลงหรือมีบริเวณแคบลง แต่ยังคงอยู่ตามชายฝั่งของแอนตาร์ติก

สิงหาคม รูปที่4.20(b) ในบริเวณชายฝั่งโอมาน และปากีสถาน มีค่าเป็นบวกน้อยกว่าเดือนกรกฎาคม ส่วนในอ่าวเบงกอลมีลักษณะเช่นเดียวกับเดือนกรกฎาคม ส่วนในซีกโลกใต้ ค่าลบของ wind stress curl มีการกระจายน้อยลงหรือมีบริเวณแคบลง แต่ยังคงอยู่ตามชายฝั่งของแอน Antarctic

กันยายน รูปที่4.21(b) ตามบริเวณชายฝั่งโอมาน และปากีสถาน ค่าบวกของ wind stress curl ได้อ่อนลงไป และปรากฏค่าเป็นลบมากขึ้น ในตอนบนของทะเลอา拉เบียน มีค่าลบมากๆ ในบริเวณชายฝั่งโซมาเลีย ส่วนในอ่าวเบงกอล ค่าบวกของ wind stress curl ปรากฏอยู่ตามบริเวณชายฝั่งตะวันออกของประเทศอินเดีย ส่วนในซีกโลกใต้ ตามบริเวณชายฝั่งของแอนตาร์ติก มีค่าเป็นลบ บริเวณอื่นๆ มีค่าเป็นบวก

ตุลาคม รูปที่4.22(b) ทางตะวันตกของทะเลอา拉เบียนมีค่าเป็นลบ และมีค่าเป็นบวก อ่อนๆ ตามบริเวณชายฝั่งตะวันตกของประเทศอินเดีย ส่วนในอ่าวเบงกอล ค่าของ wind stress curl เป็นบวกมากขึ้น แต่มีค่าเป็นบวกมากในบริเวณตะวันออกของศรีลังกา และชายฝั่งตะวันออกของอินเดีย ส่วนในซีกโลกใต้ ตามบริเวณชายฝั่งของแอนตาร์ติก มีค่าเป็นลบ บริเวณอื่นๆ มีค่าเป็นบวก

พฤษจิกายน รูปที่4.23(b) ตามบริเวณชายฝั่งโอมาน ปากีสถาน และบริเวณปากแม่น้ำ มีค่าเป็นลบ และทางตะวันตกของอินเดียมีเป็นบวกอ่อนๆ ส่วนในอ่าวเบงกอล ตามชายฝั่งตะวันออกของอินเดีย และทางตะวันออกของศรีลังกา มีค่าเป็นบวก ส่วนในซีกโลกใต้ ตามบริเวณชายฝั่งของแอน Antarctic มีค่าเป็นลบ บริเวณอื่นๆ มีค่าเป็นบวก

ธันวาคม รูปที่4.24(b) รูปแบบการกระจายตัวของ wind stress curl คล้ายกับเดือน มกราคม ส่วนในซีกโลกใต้ ค่าเป็นบวกจะปรากฏอยู่ในบริเวณรอบๆ หมู่เกาะเคอร์คิวเลน ตะวันตกเฉียงใต้ของอสเตรเลีย และค่าเป็นลบจะอยู่ตามบริเวณชายฝั่งของแอน Antarctic

ወ/ቁጥር 4.17 (c) እንደሚከተሉትን የሚከተሉት ደንብ በመስጠት የሚከተሉት ደንብ

4.4 ເປັນໄມ້ມີລົງຈະຕາມອາບີໂທລາຍ-

mg/m^3) บริเวณชายฝั่งโขมาลีและบริเวณชายฝั่งทางด้านใต้ของอินเดีย เริ่มปรากฏคลื่นโรมฟิล์-เอ ให้เห็นในซีกโลกใต้ ปริมาณคลื่นโรมฟิล์-เอ มีน้อย ปราภูมิไม่เด่นชัด (น้อยกว่า 1 mg/m^3)

มิถุนายน รูปที่ 4.18 (c) ในซีกโลกเหนือ มีคลื่นเมฆผนนماบดับบังในพื้นที่ของทะเล อาราเบียนและอ่าวเบงกอลทำให้การเฝ้าติดตามของ SeaWiFS เสียพื้นที่ศึกษาในบริเวณนั้นไป ความเข้มข้นของคลื่นโรมฟิล์-เอ จะปราภูมิอยู่ในบริเวณชายฝั่งของโขมาลีมากขึ้น และทางชายฝั่งตอนใต้ของอินเดียรวมทั้งบริเวณชายฝั่งทางด้านตะวันตกและใต้ของศรีลังกา มีมากขึ้นด้วย ในซีกโลกใต้ ปริมาณคลื่นโรมฟิล์-เอ มีน้อย ปราภูมิไม่เด่นชัด (น้อยกว่า 1 mg/m^3)

กรกฎาคม รูปที่ 4.19 (c) ในซีกโลกเหนือ ยังคงมีคลื่นเมฆผนนماบดับบังในพื้นที่ของทะเล อาราเบียนและอ่าวเบงกอลทำให้เสียพื้นที่ศึกษาในบริเวณนั้นไป ความเข้มข้นของคลื่นโรมฟิล์-เอ จะปราภูมิอยู่ในบริเวณชายฝั่งของโขมาลีและมีพื้นที่การกระจายตัวมากขึ้น และทางชายฝั่งตอนใต้ของอินเดียรวมทั้งบริเวณชายฝั่งทางด้านตะวันตกและใต้ของศรีลังกา มีปริมาณมากขึ้น (มากกว่า 1 mg/m^3)

สิงหาคม รูปที่ 4.20 (c) ในซีกโลกเหนือ ยังคงมีคลื่นเมฆผนนماบดับบังในพื้นที่ของทะเล อาราเบียนและอ่าวเบงกอลทำให้เสียพื้นที่ศึกษาในบริเวณนั้นไป ปริมาณของคลื่นโรมฟิล์-เอ จะปราภูมิอยู่ในบริเวณชายฝั่งของโขมาลีและมีพื้นที่การกระจายตัวมากขึ้น และทางชายฝั่งตอนใต้ของอินเดียรวมทั้งบริเวณชายฝั่งทางด้านตะวันตกและใต้ของศรีลังกา มีปริมาณมากขึ้น (มากกว่า 1 mg/m^3)

กันยายน รูปที่ 4.21 (c) ในซีกโลกเหนือ ปริมาณของคลื่นโรมฟิล์-เอ ปราภูมิอยู่ในบริเวณทะเลอาราเบียน และคลื่นโรมฟิล์-เอ มีความเข้มข้นมากตามบริเวณชายฝั่งโขมาลี โอมาน และชายฝั่งทางด้านตะวันตกของอินเดีย พื้นที่การกระจายตัวของคลื่นโรมฟิล์-เอ มีอยู่เป็นบริเวณ กว้าง ส่วนในซีกโลกใต้ ปริมาณคลื่นโรมฟิล์-เอ เริ่มจะปราภูมิให้เห็นทางด้านใต้ของแอฟริกา แต่ยัง มีปริมาณน้อย (น้อยกว่า 1 mg/m^3)

ตุลาคม รูปที่ 4.22 (c) ในซีกโลกเหนือ ปริมาณของคลื่นโรมฟิล์-เอ ที่ปราภูมิอยู่ในบริเวณทะเลอาราเบียน มีพื้นที่การกระจายตัวของคลื่นโรมฟิล์-เอ แอบลงไปจากเดือนกันยายน แต่

ปริมาณคลอโรฟิลล์-เอ มีมากตามบริเวณชายฝั่งเชิงพาณิชย์ โอมาน และชายฝั่งทางด้านตะวันตกของ อินเดีย มีมากที่สุดบริเวณชายฝั่งทางด้านตะวันตกของอินเดีย ในซีกโลกใต้ ปริมาณคลอโรฟิลล์-เอ เริ่มกระจายตัวเข้ามาด้านในของมหาสมุทรอินเดียได้

พฤษจิกายน รูปที่ 4.23 (c) ในซีกโลกเหนือ ปริมาณของคลอโรฟิลล์-เอ ที่ปรากฏอยู่ใน บริเวณทะเลอาเราเบียนมีปริมาณน้อยลง และมีพื้นที่น้อยลงด้วย แต่ปริมาณคลอโรฟิลล์-เอ มีมาก ตามบริเวณชายฝั่ง ในซีกโลกใต้ ปริมาณคลอโรฟิลล์-เอ เริ่มปรากฏเห็นเด่นขึ้น และมีปริมาณ มากที่สุดอยู่ในบริเวณตอนกลางของมหาสมุทรอินเดียใต้หรือที่ละติจูด 45 องศาใต้ ลองจิจูด 80 องศาตะวันออก (มากกว่า 1 mg/m^3)

ธันวาคม รูปที่ 4.24 (c) ในซีกโลกเหนือ ปริมาณของคลอโรฟิลล์-เอ ที่ปรากฏอยู่ใน บริเวณทะเลอาเราเบียน มีพื้นที่การกระจายตัวมากขึ้น ปริมาณคลอโรฟิลล์-เอ มีมากตามบริเวณ ชายฝั่งโอมาน และชายฝั่งทางด้านตะวันตกของอินเดีย ส่วนในซีกโลกใต้ ปริมาณคลอโรฟิลล์-เอ มี มากขึ้น และมีมากที่สุดที่บริเวณละติจูด 45 องศาใต้ ลองจิจูด 65-80 องศาตะวันออก (มากกว่า 1 mg/m^3)

4.5 ความสัมพันธ์ระหว่างลมรสุมกับความผันแปรตามฤดูกาลของคลอโรฟิลล์-เอ

มกราคม รูปที่ 4.13 พบว่าปริมาณคลอโรฟิลล์-เอ มากในบริเวณทะเลอาเราเบียน และใน บริเวณอ่าวเบงกอลจะพบอยู่เป็นพื้นที่เล็กๆ พbmmaที่สุดตามบริเวณปากแม่น้ำและตามชายฝั่ง จะ เห็นได้จาก wind stress curl ในบริเวณทะเลอาเราเบียนและอ่าวเบงกอล มีค่าเป็นลบ นั้นหมาย ความว่าในบริเวณนั้นมีลักษณะของการพัดลู่เข้าหากันใน Ekman transport ทำให้มีการหมุนตัวลงสู่ เปื้องล่าง แต่ในอ่าวเบงกอลตอนบนมีค่าเป็นลบมากกว่าในทะเลอาเราเบียน และยังพบได้ใน บริเวณแนวของ ITCZ และในบริเวณตามชายฝั่งของแอตแลนติก และการกระจายตัวของ คลอโรฟิลล์-เอ ในทะเลอาเราเบียนจะกระจายออกมายังไกลึงชายฝั่งโซมาเลีย และบริเวณตอน กกลางของทะเลอาเราเบียน เนื่องจากกระแสที่เกิดจาก wind stress ที่กระทำต่อผิวน้ำน้ำเป็น ตัวพัดพา ขณะเดียวกัน wind stress มีค่าสูงในบริเวณชายฝั่งโซมาเลีย ทำให้มีการพัดพาไกลึงชาย ฝั่งโซมาเลียใกล้กับเส้นศูนย์สูตร สำหรับในซีกโลกใต้ ปริมาณคลอโรฟิลล์-เอ พบมากที่สุดใน บริเวณหมู่เกาะเครือคิวเลนหรือที่ละติจูด 50 องศาใต้ ลองจิจูด 70 องศาตะวันออก และเนื่อง

กระแสน้ำลมตะวันตก (west wind drift) พัดพามาจากทางด้านใต้ของแอฟริกา ทำให้คลื่นโอฟิล์ส-เอ มีการกระจายตัวของม้าจากทางตะวันตกไปตะวันออกและพบว่า wind stress curl มีค่าเป็นบวกในบริเวณหมุนอากาศเครือข่าย เกิดการพัดลู่ออกจากกันใน Ekman transport ทำให้มีการยกตัวขึ้นสูงเป็นน้ำผุด ทำให้บริเวณนั้นมีความอุดมสมบูรณ์

กุมภาพันธ์ รูปที่ 4.14 ในชีกโลกเหนือ ในอ่าวเบงกอล ลมที่พัดปกคลุมมีลักษณะหมุนวนแบบตามเข็มนาฬิกา (Anticyclonic gyre) และมีกำลังอ่อนกว่าในทะเลอาราเบียน จากลักษณะการหมุนวนแบบนี้ทำให้ Ekman transport มีการพัดลู่เข้าหากัน ทำให้เกิดการรวมตัวลงหรือน้ำมุดในบริเวณนี้ได้ ลักษณะแบบนี้จะสัมพันธ์กับ wind stress curl ที่ปรากฏค่าของมาเป็นลบในบริเวณอ่าวเบงกอล (รูปที่ 4.2 c) ส่วนทะเลอาราเบียน มีค่าเป็นลบเช่นกัน การกระจายตัวของ wind stress curl เมื่อกับเดือนมกราคม ส่วนปริมาณของคลื่นโอฟิล์ส-เอ พบนากในบริเวณปากแม่น้ำและตามชายฝั่ง โดยเฉพาะบริเวณปากอ่าวโอมานและชายฝั่งตะวันตกของอินเดีย มีปริมาณคลื่นโอฟิล์ส-เอ มากที่สุด ส่วนในชีกโลกใต้ รูปแบบของลมยังคงมีลักษณะของลมที่หมุนวนแบบตามเข็มนาฬิกา (Anticyclonic gyre) มีศูนย์กลางอยู่ที่ละติจูด 35 องศาใต้ ลองจิจูด 40 และ 60 องศาตะวันออก กระแสน้ำลมตะวันตกพัดปกคลุมอยู่ใกล้กับทวีปแอนตาร์ติกซึ่งมีกำลังปานกลาง และปริมาณคลื่นโอฟิล์ส-เอ น้อยลงกว่าเดือนมกราคม เนื่องจาก wind stress curl ที่มีค่าเป็นบวกนั้นได้อ่อนค่าลงไป

มีนาคม รูปที่ 4.15 ในชีกโลกเหนือ เนื่องจากลมที่พัดในทะเลอาราเบียนและในอ่าวเบงกอล มีการหมุนวนแบบตามเข็มนาฬิกาหรือแอนติไซโคลและมีกำลังลมอ่อนกว่าใน 2 เดือนที่ผ่านมา จากการหมุนวนแบบนี้ทำให้มีลักษณะการเกิดน้ำมุดในบริเวณนี้ และพบว่า wind stress curl ในบริเวณทะเลอาราเบียนและในอ่าวเบงกอลมีค่าเป็นลบ และมีในบริเวณแนวของ ITCZ จีกตัวย แลบปริมาณคลื่นโอฟิล์ส-เอ ในทะเลอาราเบียนมากที่สุดอยู่ในบริเวณปากอ่าวโอมาน ซึ่งไม่สอดคล้องกับค่าของ wind stress curl ที่ได้ ทั้งนี้เนื่องบริเวณที่เกิดเป็นบริเวณที่เป็นปากแม่น้ำและมีความเค็มที่ต่างกัน ทำให้มีการแบ่งแยกชั้นน้ำ การกระจายตัวของคลื่นโอฟิล์ส-เอ มีอยู่ในบริเวณแคบลง เนื่องจากกำลังลมที่อ่อนลงทำให้การกระจายตัวน้อยลงไปด้วย ส่วนในชีกโลกใต้ ลมที่พัดปกคลุมยังคงเป็นลักษณะของแอนติไซโคลนิกพัดปกคลุมอยู่ และลมตะวันตกและกระแสน้ำลมตะวันตกมีกำลังแรงขึ้น เมื่อเทียบกับ 3 เดือนที่ผ่านมา และปริมาณคลื่นโอฟิล์ส-เอ ลดน้อยลงไปอีก

เมษายน รูปที่ 4.16 พบร่วมกับคลื่นไฟฟ้า-EK ในทะเลอาราเบียนมีน้อยลงไปมากเมื่อเทียบกับเดือนที่ผ่าน ๆ มา เนื่องจากลมที่พัดปกคลุมในบริเวณเป็นแนวติดคลินิกและมีกำลังลดลงมาก ทำให้การกระจายตัวของคลื่นไฟฟ้า-EK ออกไปได้ไม่ไกลนัก อยู่ใกล้ๆบริเวณปากอ่าวโอมาน และชายฝั่งอิหร่าน ส่วนในซีกโลกใต้ บริเวณคลื่นไฟฟ้า-EK มีน้อยลงไปจากเดือนมีนาคม เนื่องจากกระแสน้ำลดลงตะวันตกมีกำลังแรงมากกว่าเดิม

พฤษภาคม รูปที่ 4.17 เป็นช่วงเวลาเริ่มต้นของฤดูร้อนตะวันตกเฉียงใต้ บริเวณคลื่นไฟฟ้า-EK มีน้อยลงไปมากในทะเลอาราเบียน แต่จะมีการเพิ่มขึ้น ของคลื่นไฟฟ้า-EK ในบริเวณชายฝั่งโซมาเลีย เนื่องจากลมที่พัดในบริเวณนี้จะวนกับชายฝั่งอยู่ทางซ้ายมือและมีกำลังไม่แรง ทำให้เกิดน้ำผุดขึ้นตามชายฝั่งได้ เมื่อมาดูลักษณะของ wind stress curl ที่เกิดขึ้นในบริเวณชายฝั่งโซมาเลีย พบร่วมค่าเป็นบวกอยู่เป็นบริเวณแคบๆ ซึ่งสอดคล้องกับการเกิดน้ำผุดในบริเวณนี้ ส่วนในซีกโลกใต้ กระแสน้ำลดลงตะวันตกที่พัดวนกับทิศตะวันตกมีกำลังแรงมากขึ้น ทำให้บริเวณคลื่นไฟฟ้า-EK ลดน้อยลงไป

มิถุนายน รูปที่ 4.18 เป็นเดือนที่มีลมมรสุมตะวันตกเฉียงใต้มีกำลังแรง และมีเมฆฝนมากคลุมในบริเวณทะเลอาราเบียนและอ่าวเบงกอล ทำให้ติดตามบริเวณคลื่นไฟฟ้า-EK ไม่ได้แต่ในบริเวณชายฝั่งโซมาเลียมีบริเวณคลื่นไฟฟ้า-EK มากขึ้น เนื่องจาก ค่าบวกของ wind stress curl ที่ปรากฏให้เห็นอยู่ในบริเวณแคบๆ และในบริเวณชายฝั่งโซมาเลีย wind stress curl มีค่าเป็นบวก แสดงว่าในบริเวณนี้มีการเกิดน้ำผุดขึ้นตามแนวชายฝั่ง และในบริเวณอ่าวเบงกอล มีการเกิดน้ำผุดทางชายฝั่งตะวันออกของอินเดีย สร้างเกตได้จากค่าบวกของ wind stress curl ที่เกิดขึ้นตามบริเวณชายฝั่งตะวันออกของอินเดีย และเนื่องจากลมที่พัดวนกับชายฝั่งทำให้เกิดน้ำผุดขึ้นเมื่อชายฝั่งอยู่ทางซ้ายของลมทำให้ Ekman transport เคลื่อนอุปทานทางขวาเป็นมุม 90 องศา กับลมและชายฝั่งที่อยู่ทางขวาเมื่อของลมจะเป็นลักษณะของน้ำมุดเกิดขึ้น จะเห็นว่าทางตะวันออกของอ่าวเบงกอล ค่าของ wind stress curl มีค่าเป็นลบ ส่วนในซีกโลกใต้ กระแสน้ำลดลงตะวันตกยังมีกำลังแรงต่อเนื่องจากเดือนพฤษภาคม ทำให้บริเวณคลื่นไฟฟ้า-EK มีไม่มากนัก

กรกฎาคม รูปที่ 4.19 เดือนนี้ยังมีเมฆมากมาปกคลุมบริเวณทะเลอาราเบียนและอ่าวเบงกอล ภาพของ SeaWiFS ไม่สามารถมองเห็นบริเวณของคลื่นไฟฟ้า-EK ได้ในช่วงเวลาหนึ่ง แต่ใน wind stress curl ตามบริเวณชายฝั่งโซมาเลียมีค่าเป็นบวก นั้นหมายถึงมีการเกิดน้ำผุดขึ้นในบริเวณ

นั้น และบริเวณในอ่าวเบงกอลตามชายฝั่งตะวันออกของอินเดีย และบริเวณทางใต้ของอินเดียมีค่าเป็นบวกเข่นกัน ส่วนในซีกโลกใต้นั้นยังเป็นลักษณะเดียวกับเดือนมิถุนายน

สิงหาคม รูปที่ 4.20 เมฆเริ่มลดน้อยลงไปทำให้เห็นปริมาณคลอรอฟิลล์-เอ ในบริเวณทะเลคราเบียนมากขึ้น พ布ว่าปริมาณคลอรอฟิลล์-เอ มีมากตามชายฝั่งโซมาเลีย และทางใต้ของอินเดียใกล้กับศรีลังกา เนื่องจาก wind stress curl มีค่าเป็นบวกในบริเวณนั้น และลมที่พัดข้านาน กับฝั่งที่อยู่ทางซ้ายมือทำให้เกิดน้ำผุดในบริเวณนั้น แต่ทางตอนใต้ของอินเดียการกระจายปริมาณของคลอรอฟิลล์-เอ นั้นเป็นได้รับอิทธิพลของกระแสน้ำมารสุมตะวันตกเฉียงใต้เป็นตัวพัดพา มาจากชายฝั่งของของอินเดียไปยังศรีลังกา (Vinayachandran,2003) ส่วนในซีกโลกใต้กระแสน้ำลมตะวันตกยังคงมีกำลังแรงอย่างต่อเนื่องทำให้ปริมาณคลอรอฟิลล์-เอ มีน้อยมาก

กันยายน รูปที่ 4.21 ลมมรสุมได้เริ่มอ่อนกำลังลง การกระจายตัวของคลอรอฟิลล์-เอ จะพบมากตามชายฝั่งโซมาเลีย ชายฝั่งโอมาน และบริเวณชายฝั่งทางใต้ของอินเดีย รวมทั้งบริเวณรอบศรีลังกาด้วย ทั้งนี้เนื่องจากการที่ลมที่พัดข้านานกับชายฝั่งทำให้เกิดน้ำผุดตามแนวชายฝั่งของโอมาน โซมาเลีย และกระจายตัวออกมายังฝั่งมากขึ้น ส่วนบริเวณทางใต้ของอินเดียหรือบริเวณศรีลังกาได้รับอิทธิพลของกระแสน้ำมารสุมตะวันตกเฉียงใต้ ที่พัดนำความอุดมสมบูรณ์มาจากชายฝั่งอินเดีย และมีความสัมพันธ์กับ wind stress curl ที่มีค่าเป็นบวกอย่างอ่อนๆในบริเวณตอนใต้อินเดีย

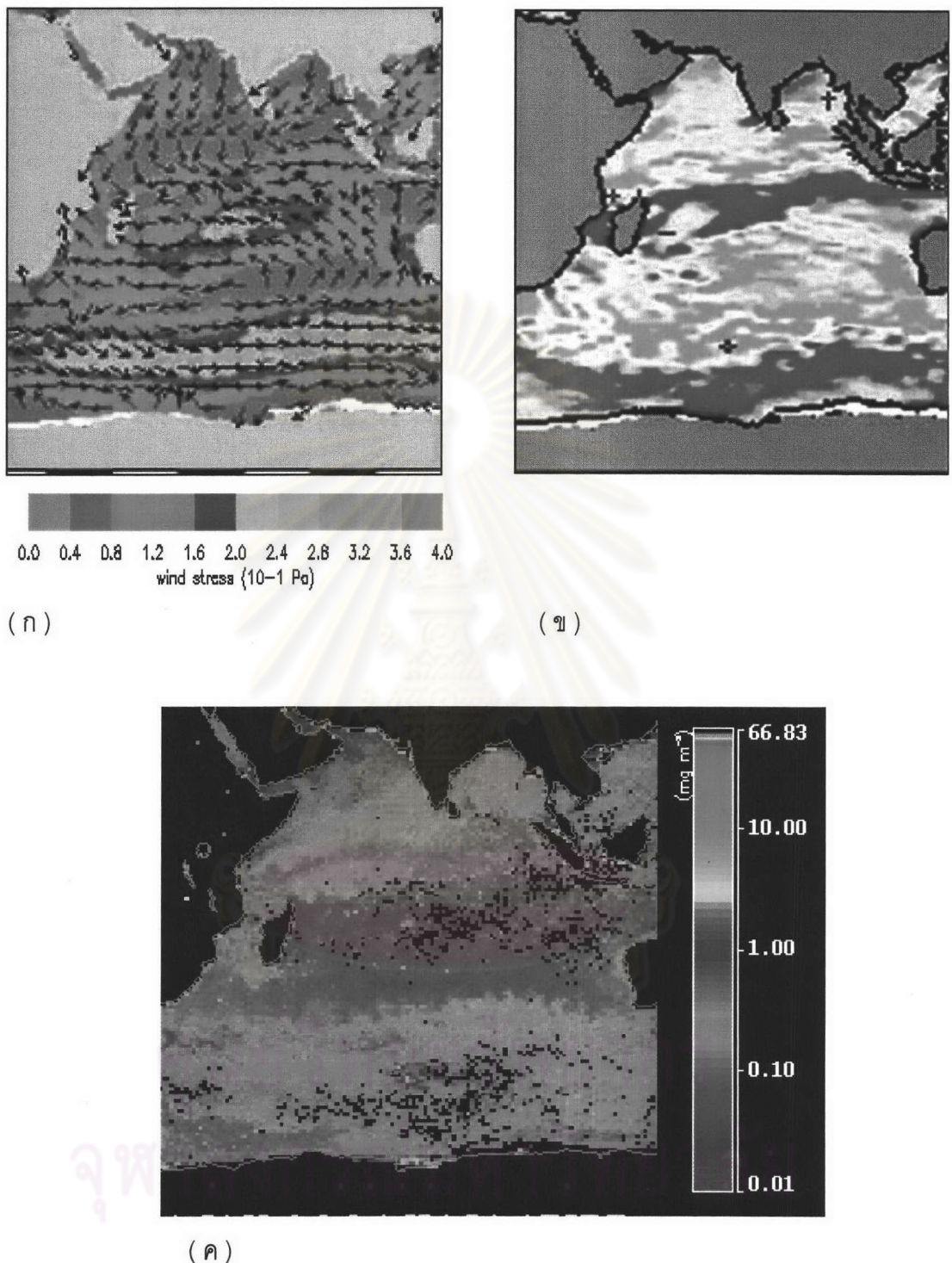
ตุลาคม รูปที่ 4.22 พบร่วมบริเวณชายฝั่งโอมาน โซมาเลีย และชายฝั่งตะวันตกของอินเดีย มีความอุดมสมบูรณ์ของคลอรอฟิลล์-เอ เนื่องจากน้ำที่ไหลออกมายากจากอ่าวโอมาน และอ่าวເວເດັນ ทำให้ปริมาณคลอรอฟิลล์-เอ มีมากตามชายฝั่งโอมาน และโซมาเลีย ส่วนบริเวณชายฝั่งทางของอินเดียมีความอุดมสมบูรณ์มากที่สุด เนื่องจากลมที่พัดตามชายฝั่งนั้นมีการวนกลับชายฝั่งมากขึ้นและชายฝั่งอยู่ทางซ้ายของลม ทำให้มีน้ำผุดเกิดขึ้นในบริเวณนั้น สร้างจาก Wind stress curl ตามชายฝั่งของอินเดียพบว่ามีค่าเป็นบวก ส่วนในซีกโลกใต้ กระแสลมตะวันตกเริ่มอ่อนกำลังลง ทำให้ปริมาณคลอรอฟิลล์-เอ เริ่มที่จะปรากฏให้เห็นทางใต้ของแอฟริกา

พฤษจิกายน รูปที่ 4.23 พบร่วม wind stress curl มีค่าเป็นลบในบริเวณชายฝั่งโอมาน ทำให้มีการหมุนตัวลงหรือน้ำมุดเกิดขึ้นในบริเวณนั้น สร้างจากปริมาณคลอรอฟิลล์-เอ ที่ลดปริมาณ

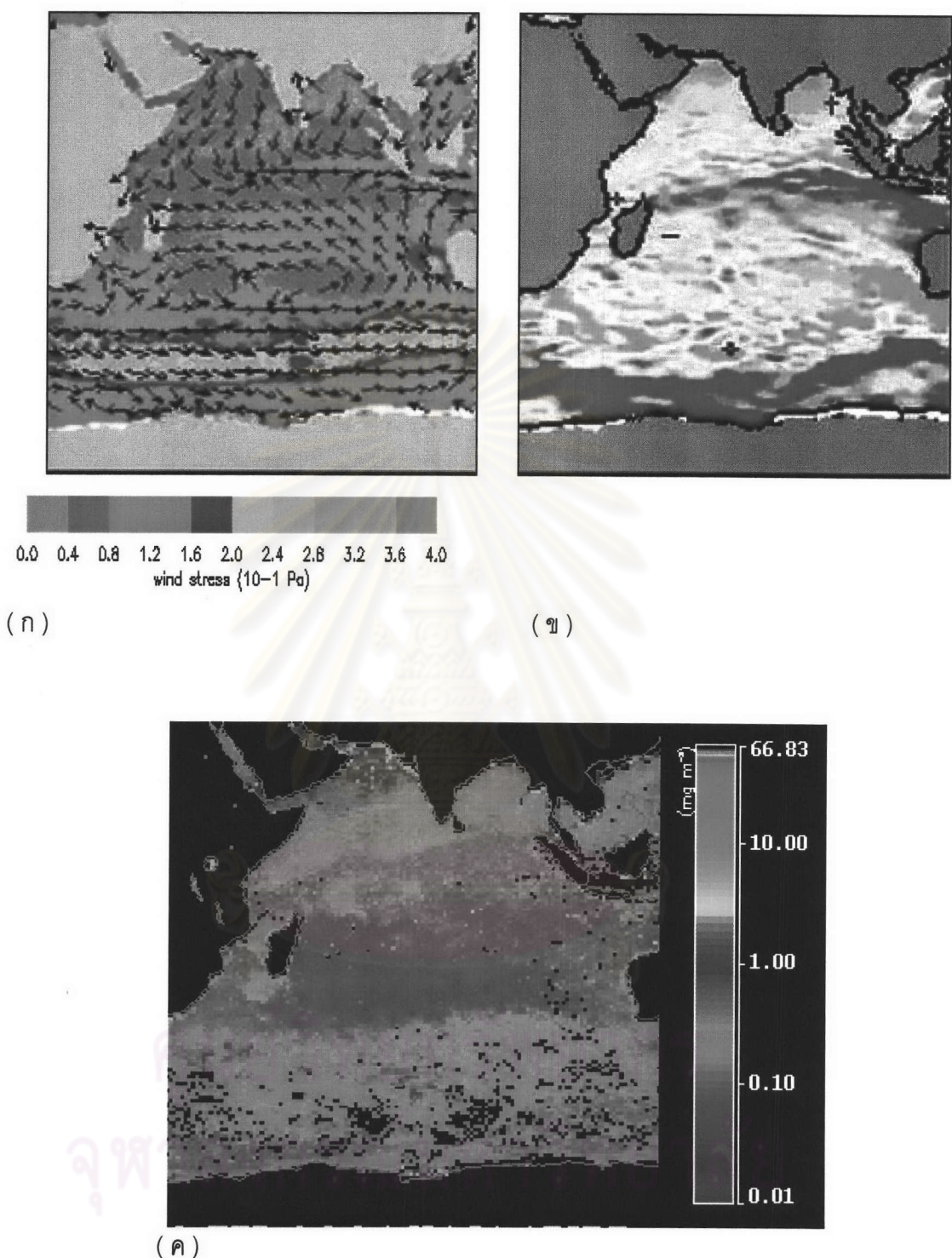
ลงตามแนวชายฝั่งและมีการกระจายตัวของมาถึงชายฝั่งตอนบนของไซมาเลีย เนื่องจากกระแสน้ำพัดพามา ในบริเวณชายฝั่งตะวันตกของอนดีเยมีปริมาณคลอรอฟิลล์-เอ มากที่สุด หมายถึงมีความอุดมสมบูรณ์มากที่สุด เนื่องลงที่พัดที่ขานกับฝั่งทำให้มีการเกิดน้ำผุดตามแนวชายฝั่ง ประกอบกับ wind stress curl แสดงค่าของมาเป็นบทตามแนวชายฝั่งอนดีเยม เป็นการชี้ให้เห็นว่ามีการเกิดน้ำผุดตามแนวชายฝั่งนี้ ส่วนในซีกโลกใต้ นั้นปริมาณคลอรอฟิลล์-เอ มีมากขึ้นเนื่องจากกระแสน้ำตะวันตกเป็นตัวพัดพามาและมีกำลังอ่อนลงเมื่อเทียบกับเดือนที่ผ่านมา

ธันวาคม รูปที่ 4.24 พบร่วมกับ wind stress curl มีค่าเป็นลบ ทำให้ Ekman transport มีการลุ่เข้าหากัน เกิดการรวมตัวมากกว่าการยกตัวหรือเกิดน้ำมุดมากกว่าน้ำผุด ในบริเวณชายฝั่งโอมาน และบริเวณปากแม่น้ำ แต่ ปริมาณคลอรอฟิลล์-เอ มีมากในบริเวณปากแม่น้ำและตามแนวชายฝั่งเนื่องจากน้ำที่ไหลออกมายากจากอ่าวโอมานทำให้พบปริมาณคลอรอฟิลล์-เอ มีมากในบริเวณปากอ่าวโอมาน ส่วนในซีกโลกใต้ ปริมาณคลอรอฟิลล์-เอ มีมากขึ้น และมีมากที่สุดในบริเวณหมู่เกาะเคอร์คิวเลน เนื่องจากกระแสน้ำลมตะวันตกมีกำลังอ่อนลง และ wind stress curl ในบริเวณหมู่เกาะเคอร์คิวเลน มีค่าเป็นบวก

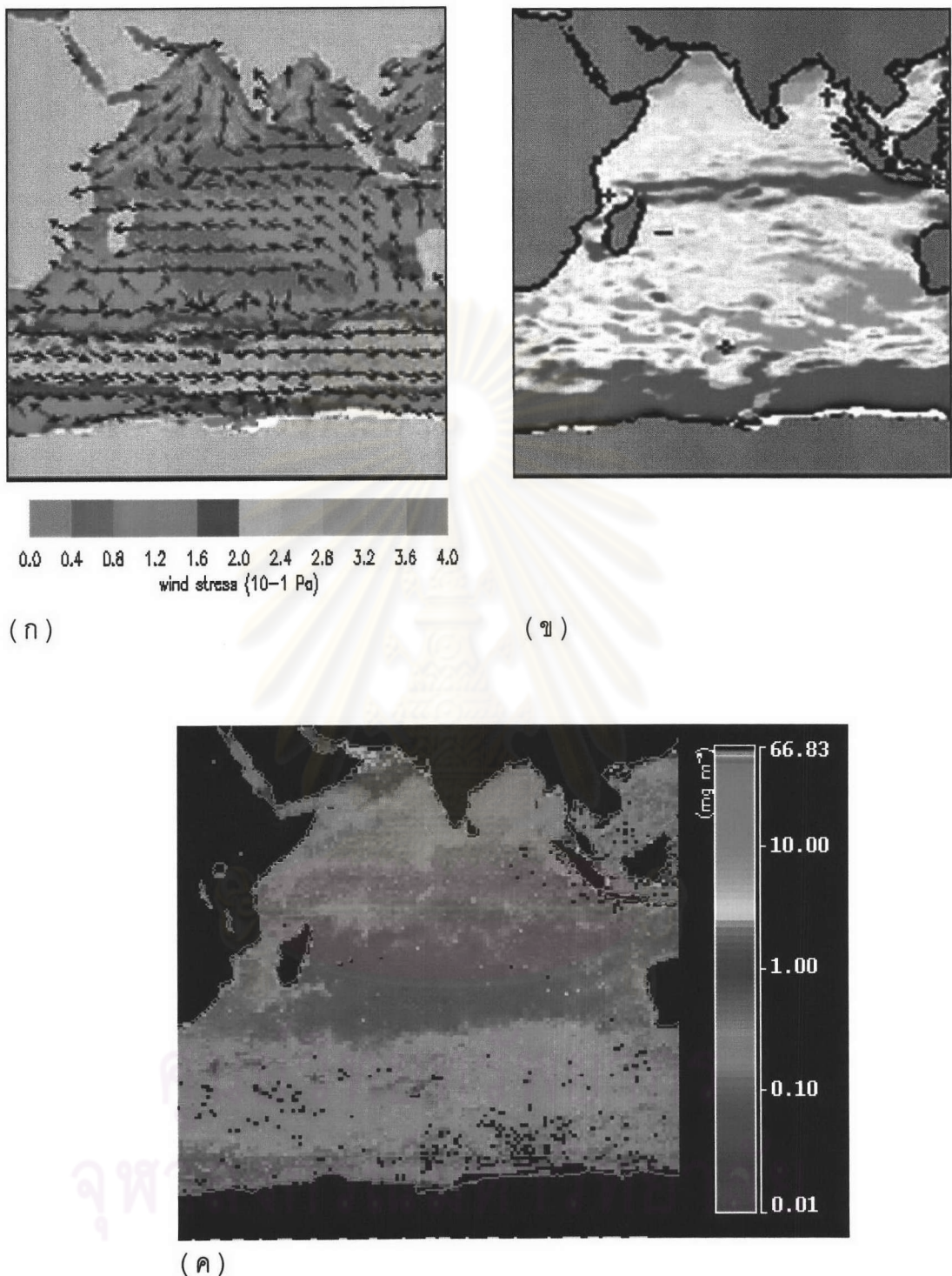
ศูนย์วิทยทรัพยากร จุฬาลงกรณ์มหาวิทยาลัย



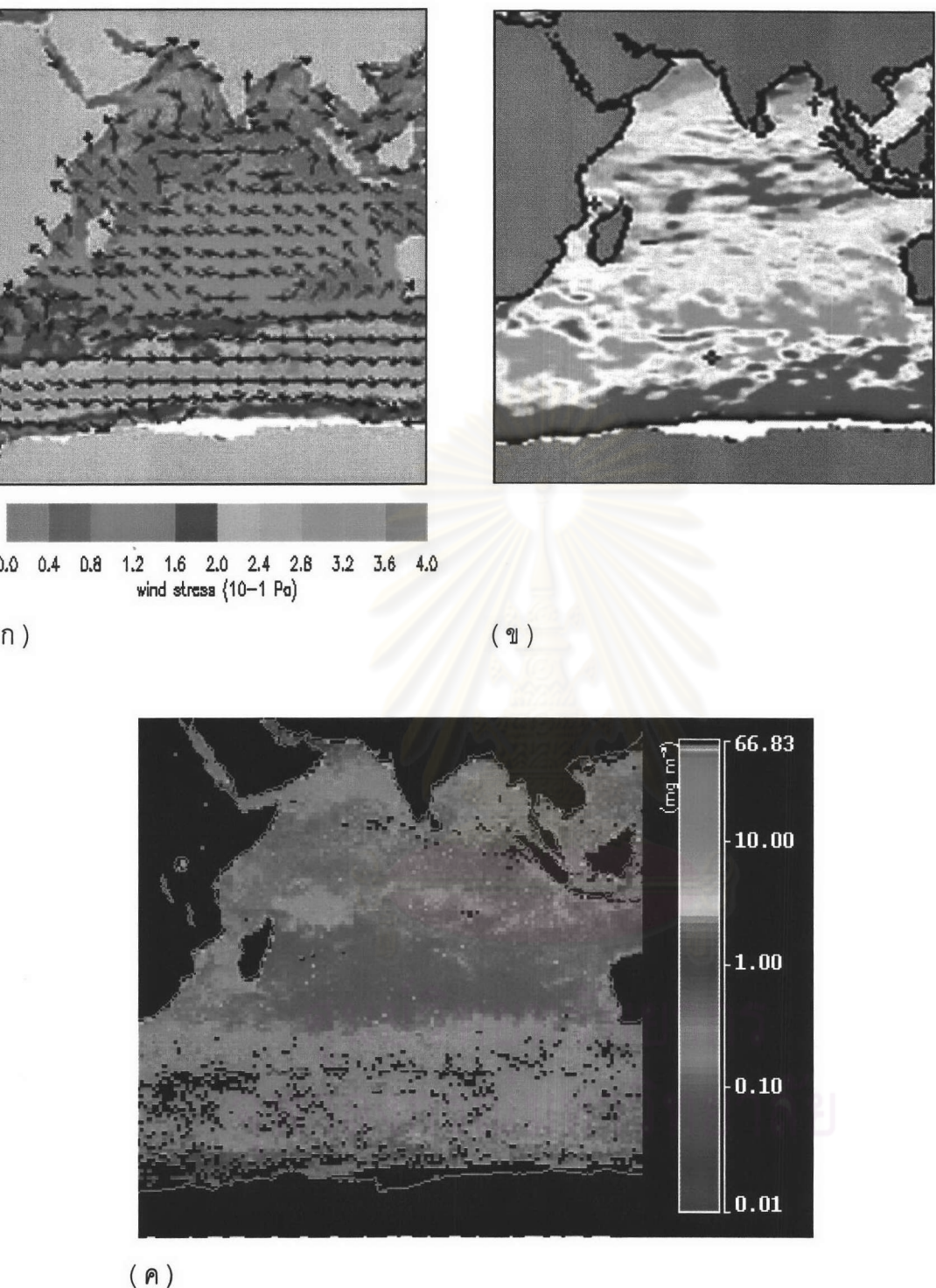
รูปที่ 4.13 เดือนมกราคม (ก) Wind stress (ข) wind stress curl (ค) บริมาณคลื่นโกรฟิล์ด-เอ



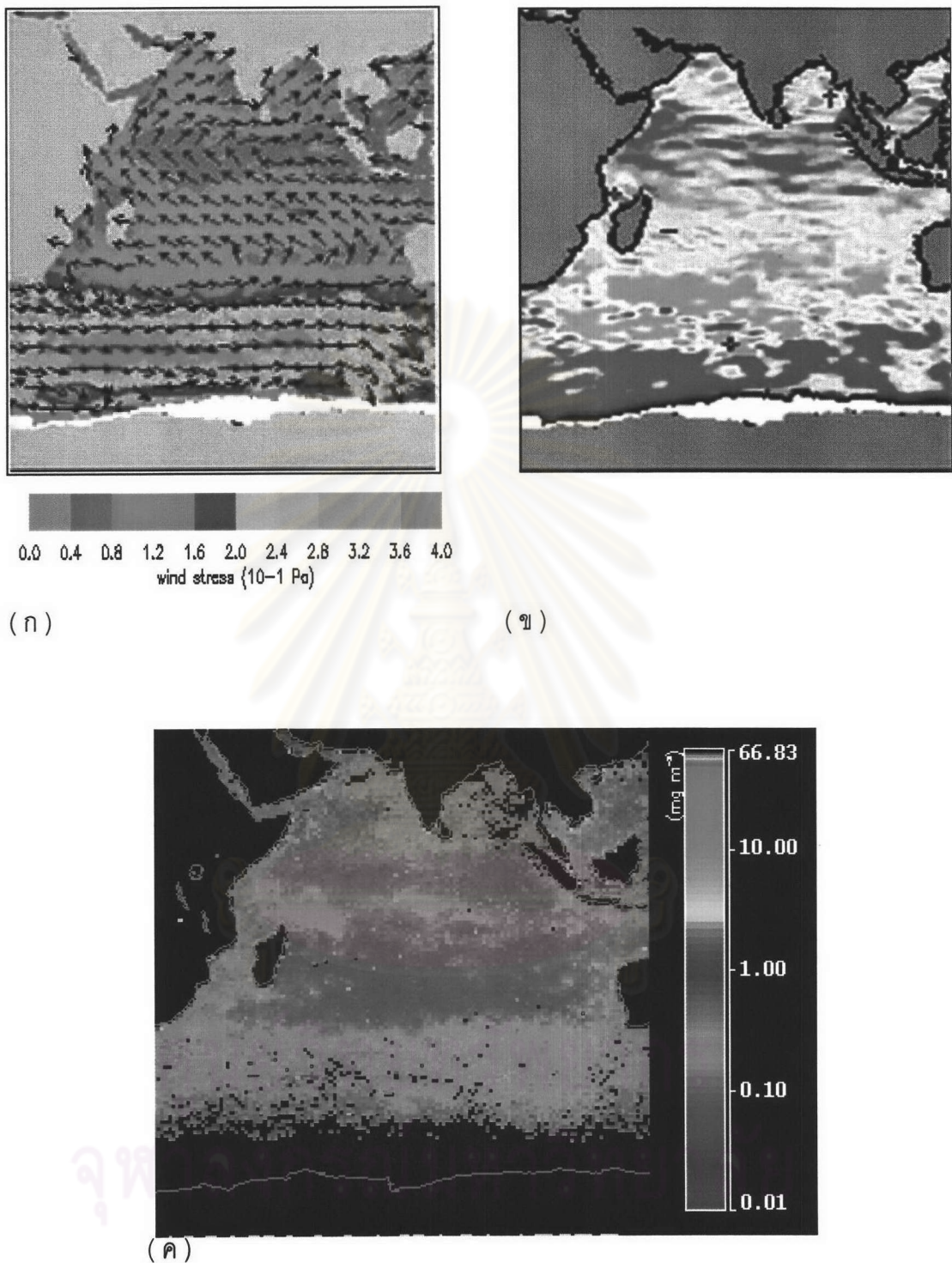
รูปที่ 4.14 เดือนกุมภาพันธ์ (ก) Wind stress (ข) wind stress curl (ค) ปริมาณคลื่นโกรฟล์-เอ



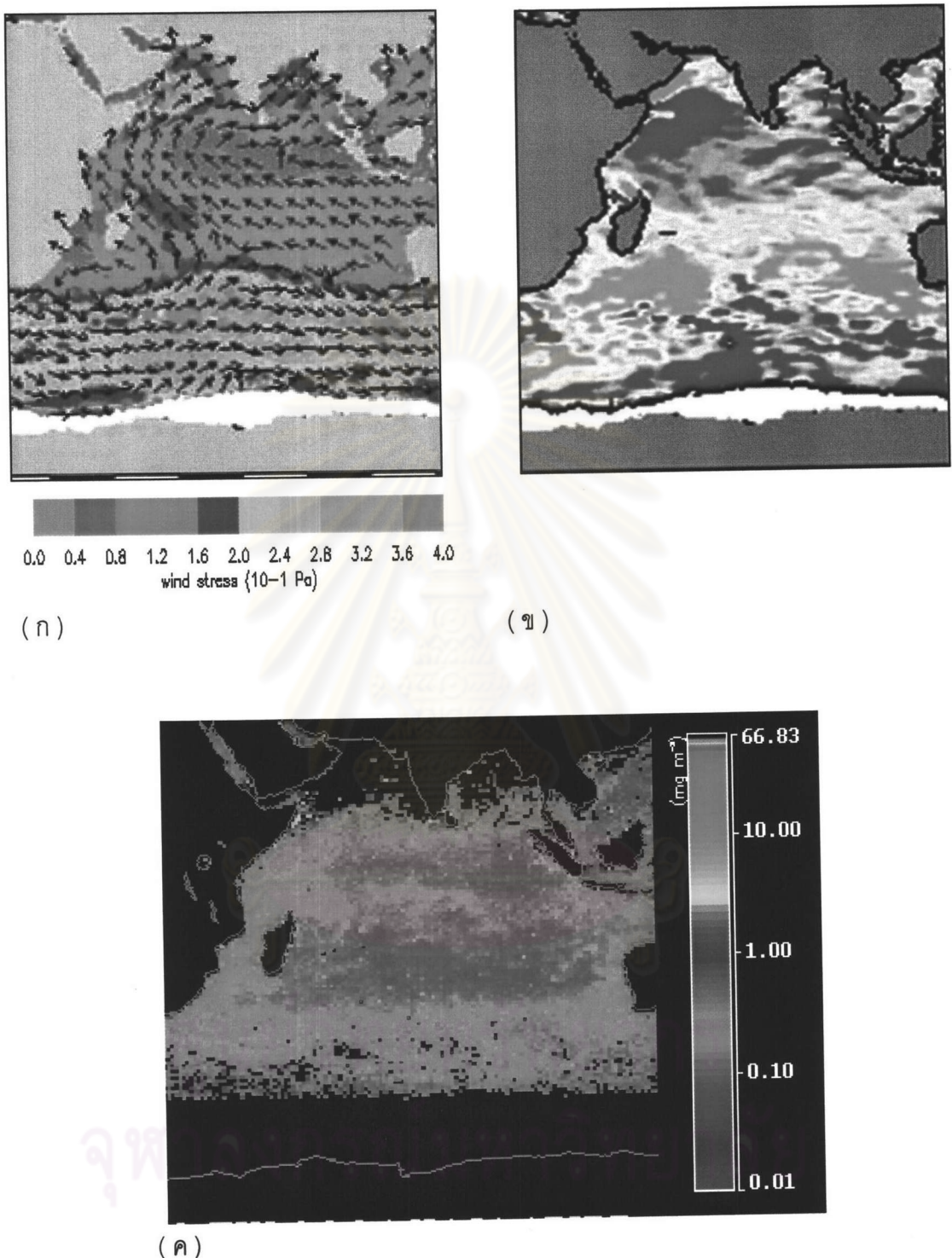
รูปที่ 4.15 เดือนมีนาคม (ก) Wind stress (ข) wind stress curl (ค) ปริมาณคลื่นไส้ฟิล์ด-เฉียง



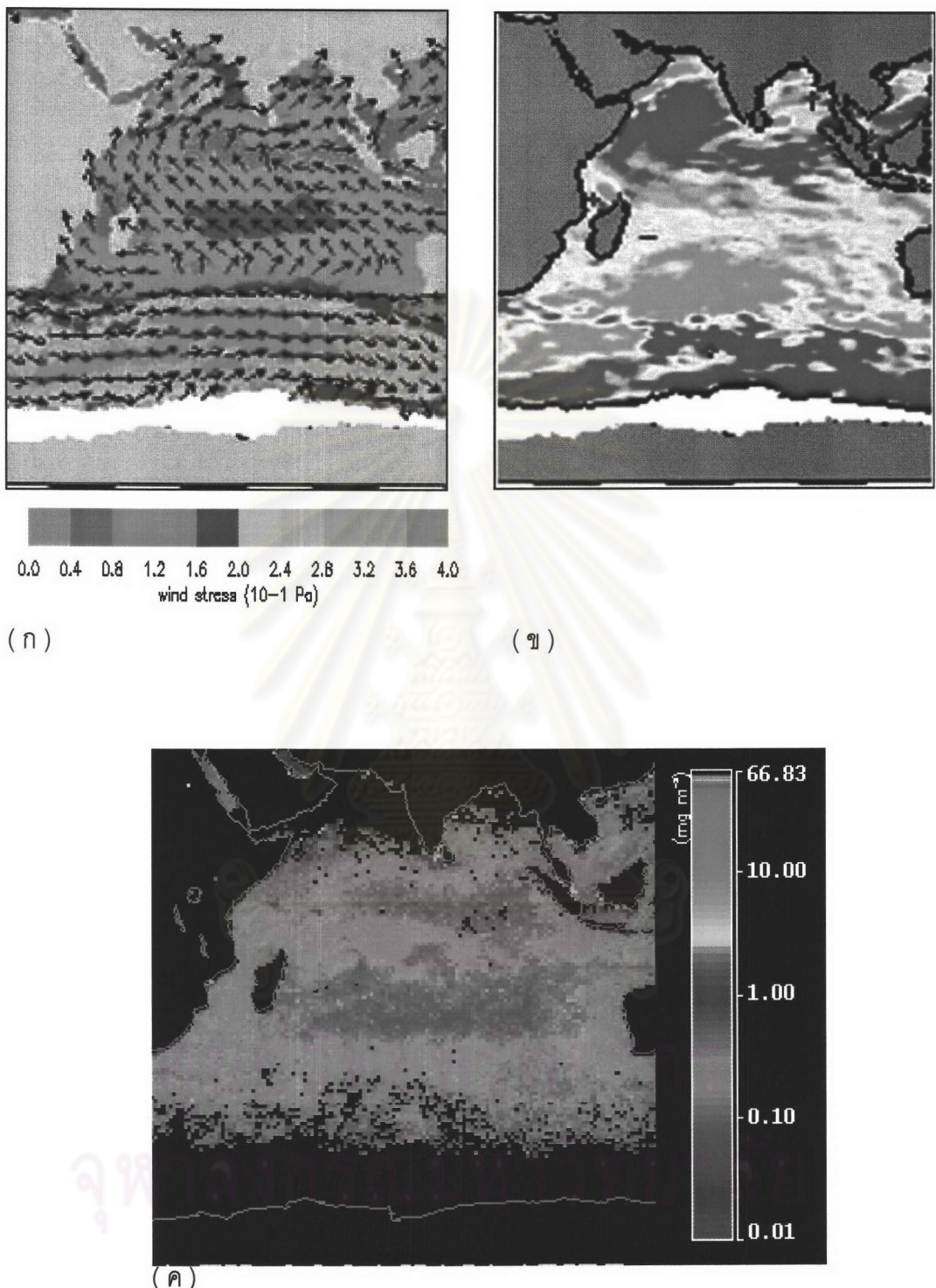
ปท 4.16 เดือนเมษายน (ก) Wind stress (ข) wind stress curl (ค) ปริมาณคลาวด์ฟิลด์-เอ



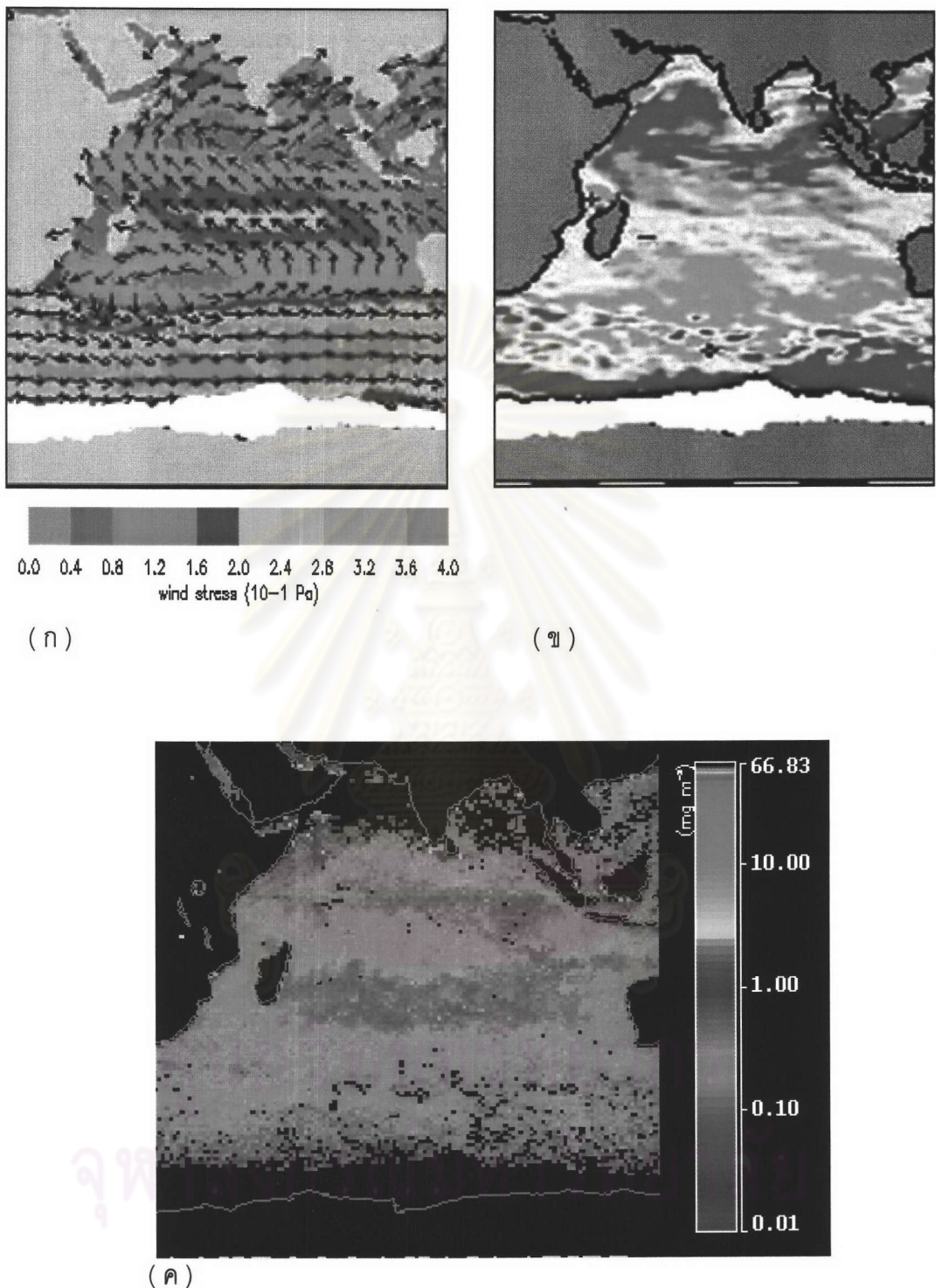
รูปที่ 4.17 เดือนพฤษภาคม (ก) Wind stress (ข) wind stress curl (ค) ปริมาณคลาวด์ฟิล์ส-เอ



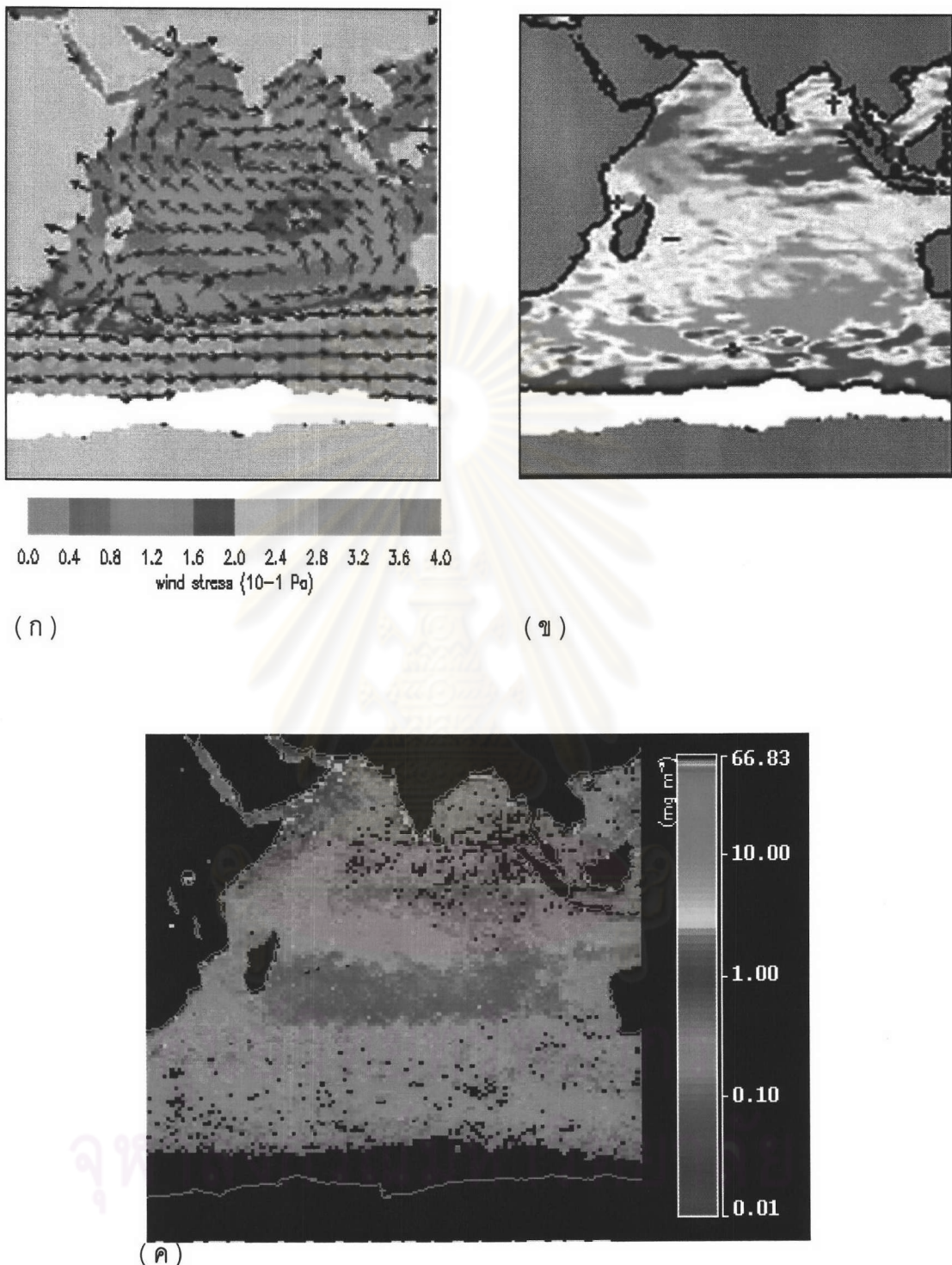
รูปที่ 4.18 เดือนมิถุนายน (ก) Wind stress (ข) wind stress curl (ค) ปริมาณคลื่นไฟล์-เอ



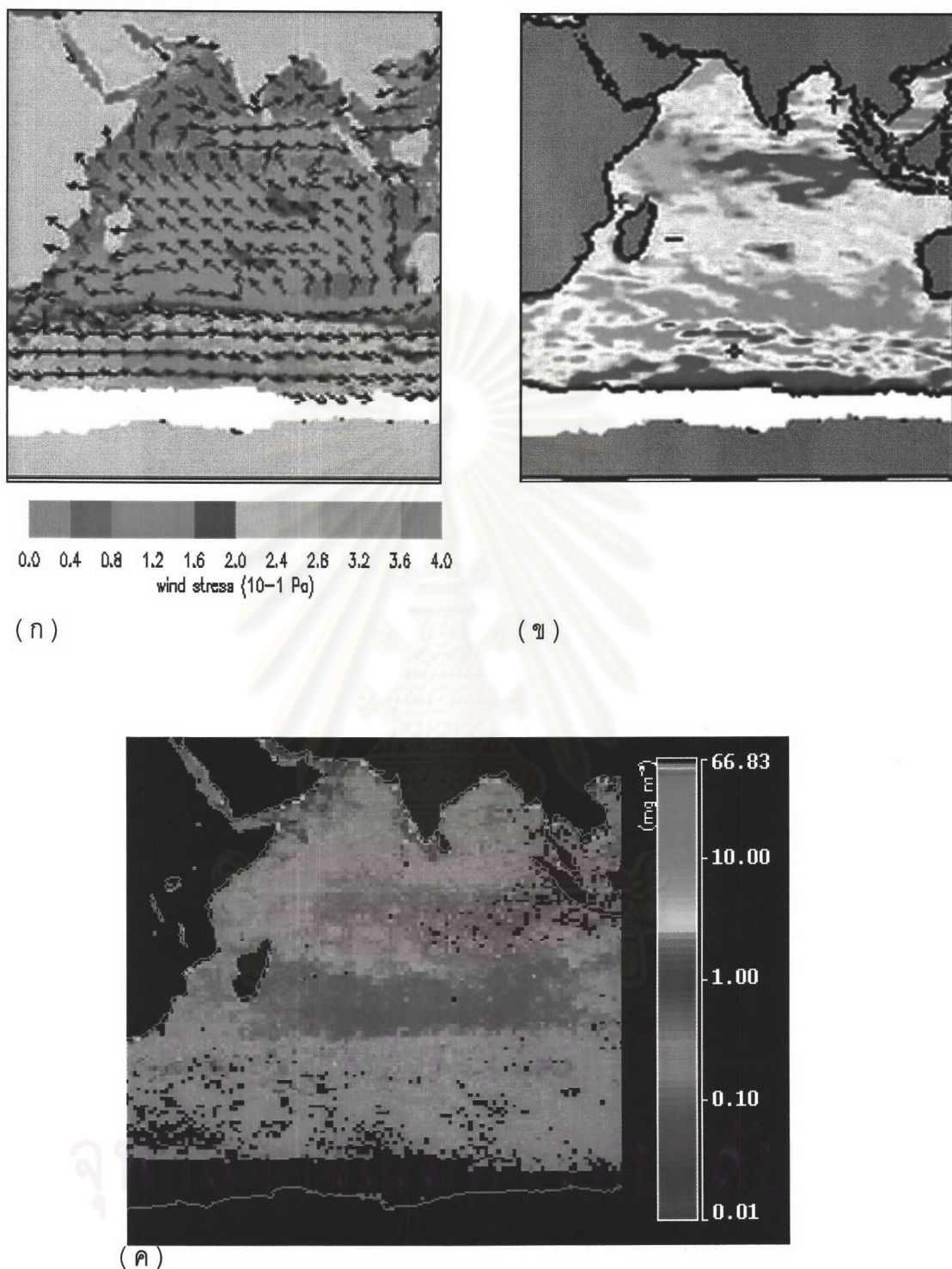
รูปที่ 4.19 เดือนกรกฎาคม(ก) Wind stress (ข) wind stress curl (ค)ปริมาณคลื่นไทรฟิล์-เอ



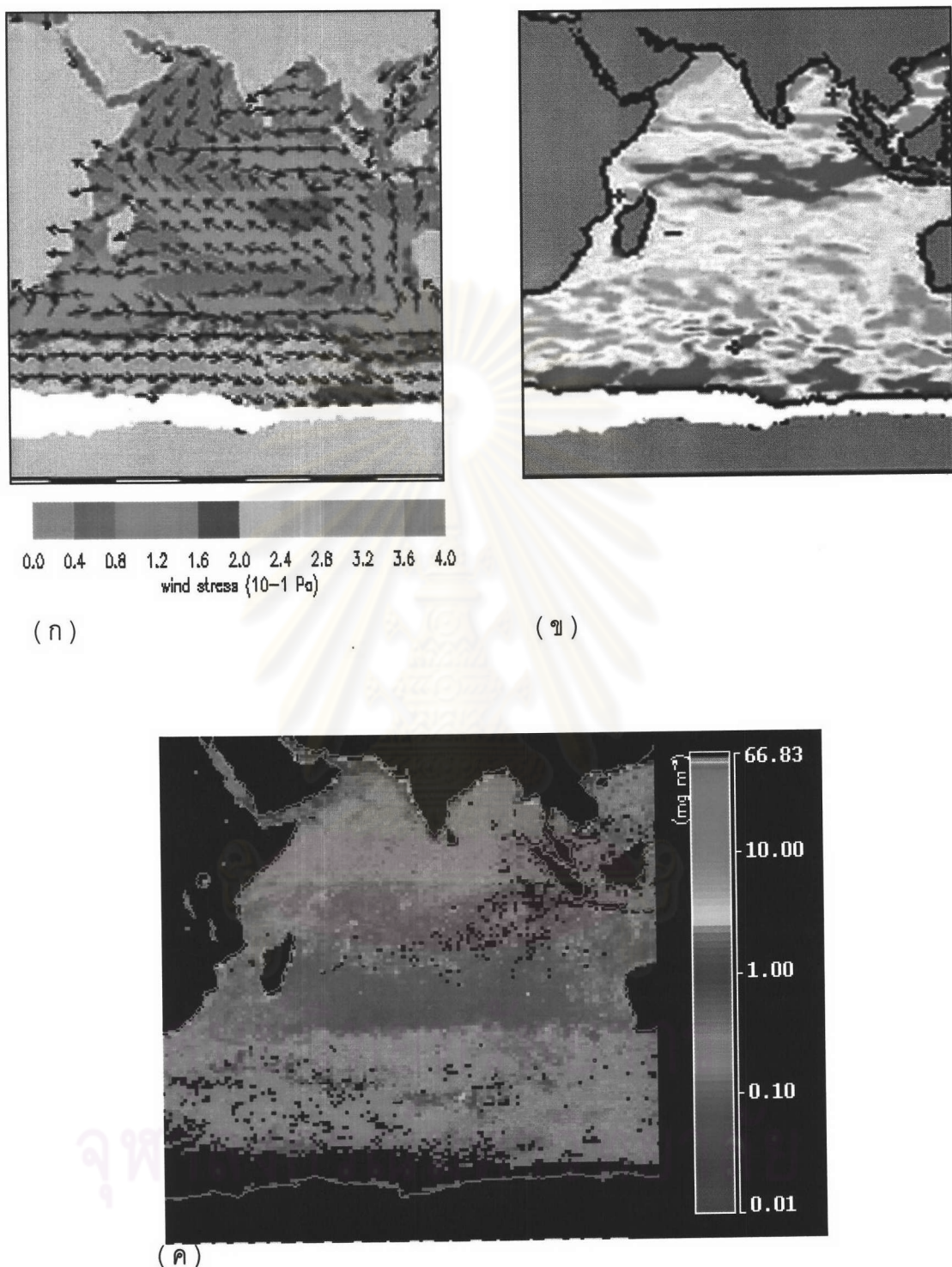
รูปที่ 4.20 เดือนสิงหาคม (η) Wind stress (ψ) wind stress curl (κ) ปริมาณคลอรอฟิลล์-เอ



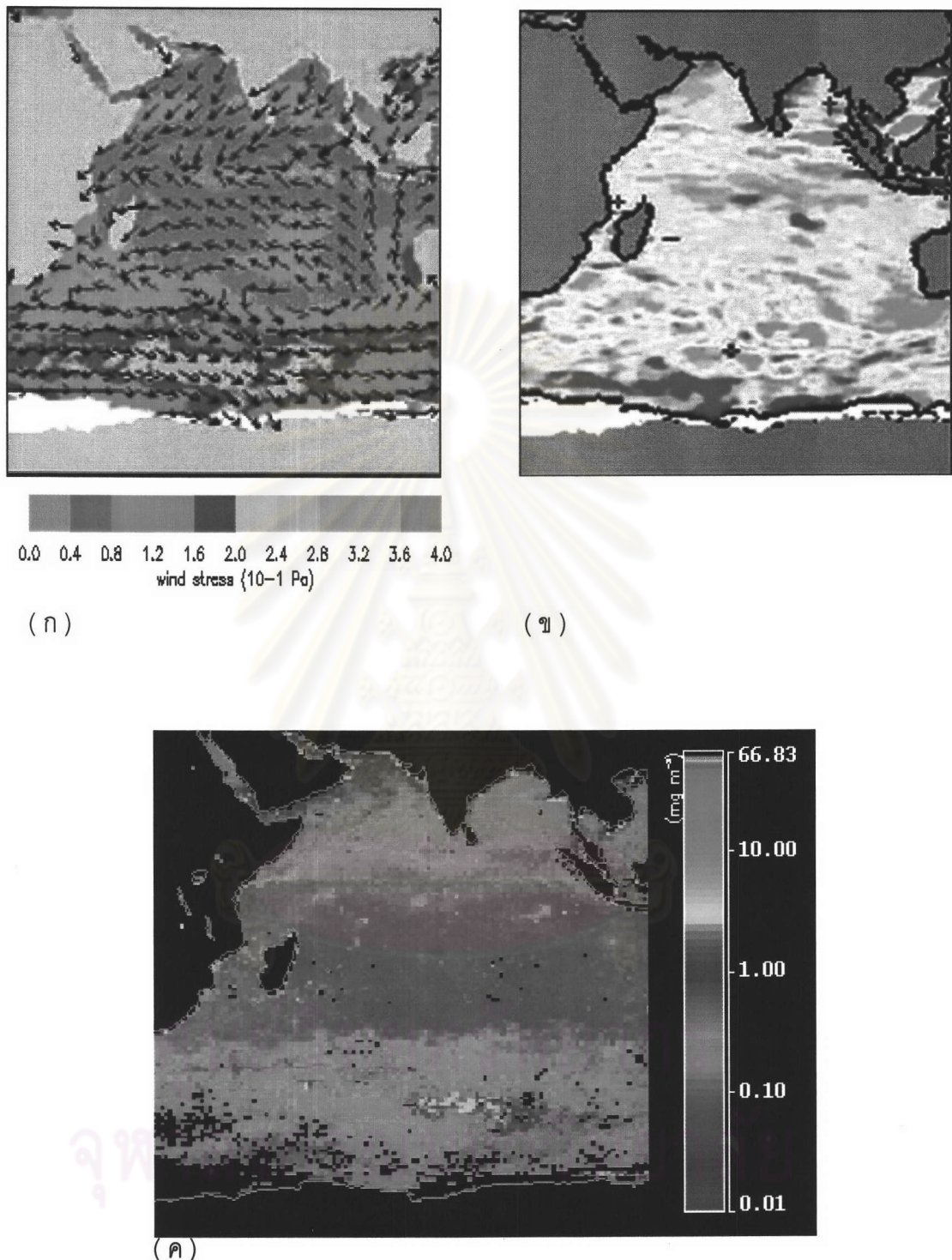
รูปที่ 4.21 เดือนกันยายน (ก) Wind stress (ข) wind stress curl (ค) ปริมาณคลื่นโกรธิล์-เอ



รูปที่ 4.22 เดือนตุลาคม (n) Wind stress (u) wind stress curl (v) บริมาณคลื่นโรพิลล์-เอ



รูปที่ 4.23 เดือนพฤษจิกายน (ก) Wind stress (ข) wind stress curl (ค) ปริมาณคลอโรฟิลล์-เอ



รูปที่ 4.24 เดือนธันวาคม (η) Wind stress (ψ) wind stress curl (κ) ปริมาณคลื่นโกรฟิล์ส-ເດ